

Ն.Ա.ԲԱԶԻԿՅԱՆ, Գ.Դ.ՀՈՎՀԱՆՆԻՍՅԱՆ, Վ.Ա.ՎԱՐԴԱՆՅԱՆ

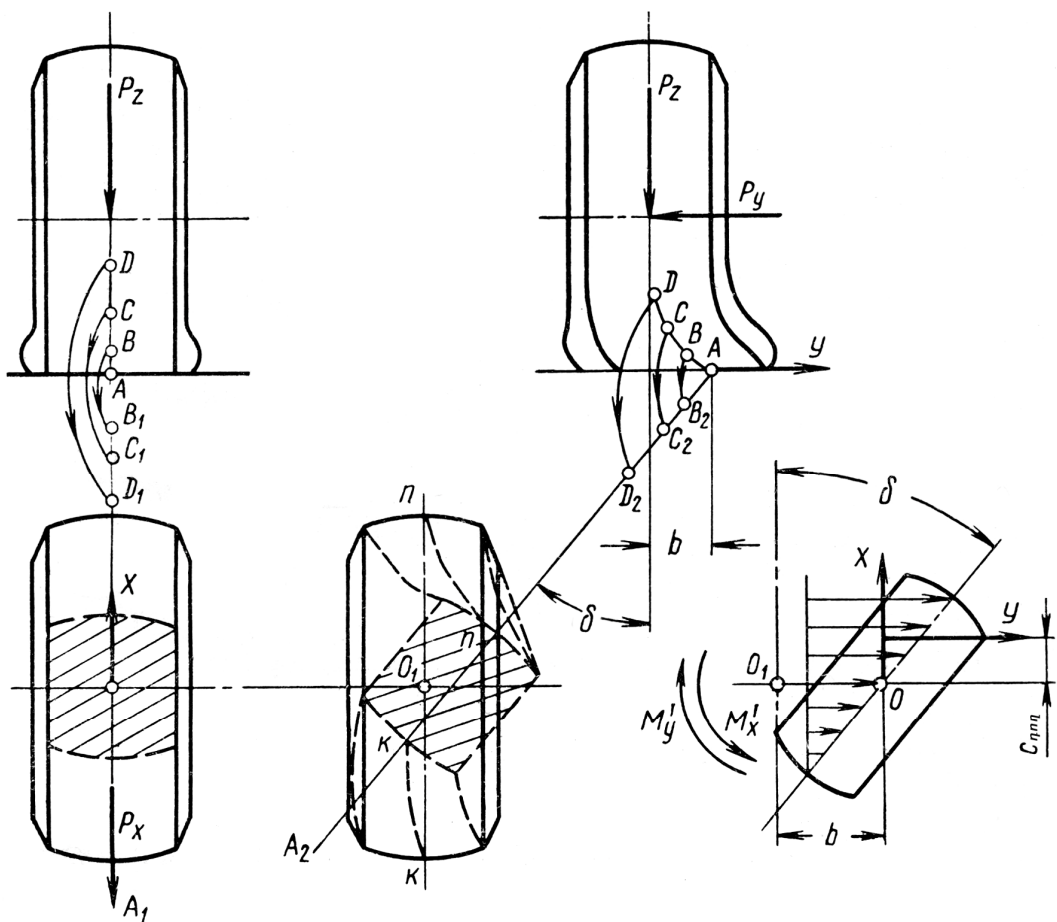
ԱՎՏՈՍՈԲԻԼԱՅԻՆ ԱՆՎԻ
ԵՎ ՃԱՆԱՊԱՐՀԻ
ՓՈԽԱԶԴԵՑՈՒԹՅՈՒՆԸ

ԵՐԵՎԱՆ 2012

**ՀՀ ԿՐԹՈՒԹՅԱՆ ԵՎ ԳԻՏՈՒԹՅԱՆ
 ՆԱԽԱՐԱՐՈՒԹՅՈՒՆ
 ՀԱՅԱՍՏԱՆԻ ՊԵՏԱԿԱՆ ԱԳՐԱՐԱՅԻՆ
 ՀԱՍՎԱՐԱՐԱՆ**

Ն.Ա.Բագիկյան, Գ.Դ.Հովհաննիսյան, Վ.Ա.Վարդանյան

**ԱՎՏՈՄՈՔԻԼԱՅԻՆ ԱՆՎԻ ԵՎ ԹԱՆԱՊԱՐՀԻ
 ՓՈԽԱԶԴԵՑՈՒԹՅՈՒՆԸ**
Ուսումնական ձեռնարկ



ԵՐԵՎԱՆ

ՀՊԱՀ

2012

Գրախոսողներ՝ տ.գ.դ., պրոֆ. Շ.Մ. Գրիգորյան
տ.գ.թ., դոց. Գ.Ս. Երիցյան
տ.գ.թ. Վ.Ա. Թերզյան

Խմբագիր՝ Հովհաննիսյան Կ.Դ.

Բագիկյան Ն.Ա. և ուրիշներ
Բ164 Ավտոմոբիլային անվի և ճանապարհի փոխազդեցությունը: Ուսումնական ձեռնարկ/ Բագիկյան Ն.Ա., Հովհաննիսյան Գ.Դ., Վարդանյան Վ.Ա.: ՀՀ ԿԳՆ.- Եր: Հայաստանի պետական ագրարային համալսարան, 2012- 56 էջ:

Ուսումնական ձեռնարկում ավտոմոբիլային անվի և ճանապարհի փոխազդեցության ուսումնասիրության նպատակով քննարկվել են դողերի ստատիկ բնութագրերը, անվի շառավիղները, շարժման դինամիկան, աշխատանքի ռեժիմները, գլորման դինատության և կցման գործակիցները, կողատարքը, ինչպես նաև ճանապարհային ծածկույթների խորդությունները, կցման հատկանիշները, անրությունը:

Զեռնարկը նախատեսվում է Հայաստանի պետական ագրարային համալսարանի «Փոխադրումների և ճանապարհային երթևեկության կազմակերպում և կառավարում» 311004 մասնագիտությամբ ուսանողների համար: Այն կարող է օգտակար լինել ճարտարագետ մագիստրոսների, ավտոտեխնիկական փորձագետների և ավտոտրանսպորտային ձեռնարկությունների աշխատողների համար:

ՆԵՐԱԾՈՒԹՅՈՒՆ

Ավտոմոբիլներն աշխատում են տարբեր ճանապարհային և ճանապարհազորկ պայմաններում: Սակայն բոլոր դեպքերում դրանց շարժումն իրականացվում է պտտվող (տանող կամ արգելակող) և այս կամ այն կողմ դարձվող (հաճախ նաև չեզոք դիրքով պահպող) անիվների միջոցով: Աշխատանքի ռեժիմների համաձայն՝ անիվները բեռնափորվում են տարբեր դիմամիկական բնույթի գործոններով, որոնց համապատասխանում են դրանց շարժման որոշակի կինեմատիկական պարամետրեր: Կարծ ասած, անիվները հենարանային մակերևույթի և ավտոմոբիլի թափքի միջև ուժերի փոխանցման բարդ, որոշակի առանձնահատկություններով օժոված օլակ են:

Ինչ ոլորտում էլ աշխատի ավտոմոբիլային տրանսպորտի մասնագիտության բակալավրը կամ ճարտարագետը, նա անպատճառ առնչվում է «Վարորդ-ավտոմոբիլ-ճանապարհ-միջավայր» բարդ դիմամիկ համակարգի հետ և, համաձայն իր գործունեության բնույթի, խորանում է տրանսպորտային փոխադրումների իրականացման այս կամ այն հարցերի շրջանակում: Անկախ ամեն ինչից, նա պետք է ծանոթ լինի «Ավտոմոբիլային ճանապարհներ» դասընթացին, ինչը տարվում է ոչ թե ճանապարհների կառուցման մասնագիտության առանձնահատկությունների խորը տիրապետման, այլ դրանց՝ ավտոմոբիլային տրանսպորտի համար նախատեսվածությունը շեշտադրող առանձնահատկությունների ուսումնաբրության նպատակով: Այս պատճառով տրանսպորտային մասնագետների համար «Ավտոմոբիլային ճանապարհներ» դասախոսական տեսական և գործնական ու լաբորատոր պարապմունքների դասընթացում առանձնակի ուշադրություն է դարձվում անիվների և ճանապարհների փոխագրեցությանը, տրանսպորտային միջոցների հոսքերի ինտենսիվությանը, արագությանը, անվտանգությանը, հարմարավետությանը և այլ հարցերի: Դրանք առաջարկում են մի շարք պահանջներ, որոնք հաշվի առնելը ճանապարհների նախագծման պարտադիր հիմք է ծառայում:

Ավտոմոբիլային անիվը, ինչպես այլ անվավոր շարժակազմի անիվ, մետաղական կոշտ անվահեցի վրա հազցված պնևմատիկ (ներքին օդով լցված) դողով գույգն է: Առաջին պնևմատիկ դողը ստեղծվել է 1845թ., որից հետո կառուցվածքային մեծ զարգացում է ունեցել: Սակայն դրա աշխատանքի հիմնական սկզբունքը՝ ներքին սեղմված (մբնուրտի նկատմամբ ավելցուկային ճնշմամբ) օդի՝ որպես մեղմիչ միջավայրի օգտագործումը, հետագայում լայն կիրառություն է ստացել: Մոտ 50 տարի անց դողում առանձնացվել են դողածածկոցը և դողի խուցը: Սիամամանակ դողածածկի կառուցվածքում սվորական քառակուսային գործվածքի փոխարեն սկզբեց օգտագործվել հենքարելը: Դրանից հետո դողերի կիրառման ոլորտն անլրիհատ մեծացավ:

Պնևմատիկ դողերի օգտագործումն առաջացրեց ավտոմոբիլների արտադրության արագ զարգացում: Ավտոմոբիլների արագության և դրանց վրա ազդող ուժերի մեծացմանը զուգընթաց դողերի աշխատանքի պայմանները խիստ ծանրաբեռնված դարձան: Բարձրացան դողերի կառուցվածքին և օգտագործվող նյութերին ներկայացվող պահանջները: Այժմ մեծ զարգացում է ապրում առանց խուցի դողերի արտադրությունը: Նկատվում է հենքարելի անկյունագծային դասավորության առավելացման շառավղային դասավորությանը նախապատվություն տալու միտումը:

Մշակվել են կարգավորվող ներքին ճնշմամբ, լայն և կամարաձև պրոֆիլներով դողերի կառուցվածքներ, որոնք նախատեսված են փափուկ ձևափոխվող գրունտների վրա աշխատելու համար: Պնևմագլունները կիրառվում են ճանապարհազորք պայմաններում: Մշակվել են դողերի անվտանգ կառուցվածքներ, որոնք կանխում են վթարները դողի միջից օդի դուրս գալու դեպքում: Զմեռային սահուն, թաց ու կեղսոտ ճանապարհային ծածկույթների համար ստեղծվել են հատուկ պահպանաշերտերով դողեր, և նախատեսվում է հակասայթաքման բութակների օգտագործում:

Միաժամանակ մեծ ուշադրություն է դարձվում ավտոմոբիլային ճանապարհների կառուցման նոր տեխնոլոգիական գործընթացներին և նյութերի օգտագործմանը, ինչն ապահովում է ճանապարհային ծածկույթների բարձր կցումային և ամրության հատկանիշներ: Այդ իսկ պատճառով սույն ուսումնական ձեռնարկը նվիրված է «ավտոմոբիլային անիվ - ճանապարհ» զույգի փոխազդեցությունը պայմանավորող առանձին գործոնների ուսումնասիրությանը:

Ձեռնարկում քննարկված հարցերը գտնվում են «Ավտոտրանսպորտային միջոցներ» և «Ավտոմոբիլային ճանապարհներ» առարկաների հարակցման տիրույթում, հետևաբար կիրառելի են այդ առարկաների դասընթացներում:

1.ԱՎՏՈՍՊԻԼԱՅԻՆ ԱՆՎԻ ՊԱՐԱՍԵՏՐԵՐԸ

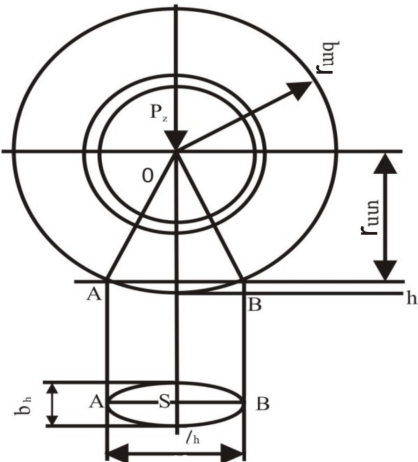
1.1.Դողերի ստատիկ բնութագրեր

1. Ներփին օդի ճնշման՝ P_{w_i} տարրեր արժեքների դեպքում դողի նորմալ h_z ճկվածքի (պրոֆիլի բարձրության փոփոխություն) կախումն անվի վրա ազդող ուղղաձիգ (նորմալ) P_z ուժից:

Դողի նորմալ h_z ճկվածքը փոքր-ինչ անձշտությամբ կարելի է որոշել նկ.1-ի վրա ցույց տրված անվի երկրաչափական պարամետրեր հանդիսացող ազատ r_{wq} և ստատիկ r_{us} շառավիղների տարրերությամբ.

$$h_z = r_{wq} - r_{us}, \quad (1)$$

որտեղ r_{wq} -ը հենարանային մակերևույթի հետ հապում չունեցող (ազատ, օդում գտնվող) անվի վազքամասի ամենամեծ շրջանագծային կտրվածքի տրամագծի կեսն է:



Նկ.1. Ստատիկական վիճակում ուղղաձիգ P_z ուժով բեռնավորված անվի հիմնական երկրաչափական պարամետրերը.

r_{wq} -ազատ շառավիղը, r_{us} -ստատիկական շառավիղը, S -հենարանային մակերևույթի հետ անվի հապատեղի մակերեսը, $l_h(AB)$ - հապատեղի մակերեսի երկարությունը, b_h -հապատեղի մակերեսի լայնությունը, AOB - անվի աշխատանքային սեկտորը, P_z - անվի ուղղաձիգ բեռնվածքը, O -անվի երկրաչափական կենտրոնը:

Հարկ է նշել, որ այն կարծիքը, թե P_w -ի մեծացումը մինչանակ կհանգեցնի r_{wq} շառավողի համապատասխան մեծացմանը, սույ թվացող է և փորձով ոչ միշտ է հաստատվում: Անկյունագծային դասավորությամբ հենքարելով դողերի համար այդպես է, եթե դրանց պրոֆիլի B լայնությունը զգալիորեն գերազանցում է H բարձրությանը: Հակառակ՝ $H > B$ դեպքում դողի մեջ օդի քանակի ավելացումը հանգեցնում է r_{wq} շառավողի մեծության նվազեցման: Հնարավոր է նաև դողի H և B չափերի այնպիսի կառուցվածքային հարաբերակցություն, որ P_w արժեքի զգալի փոփոխությունն առաջացնի r_{wq} շառավողի մեծության սույ գործնականորեն անտեսվող փոփոխություն:

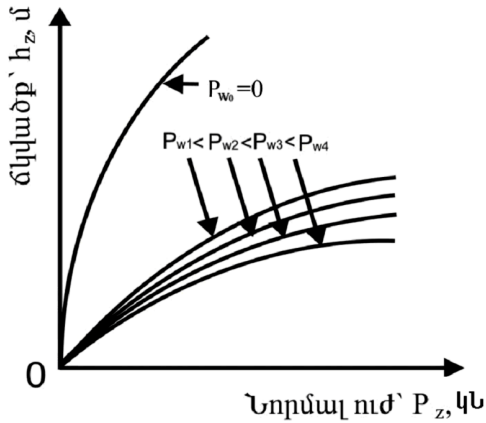
Համապատասխան ձևով արտագրելով (1) հավասարումը՝ հենարանային մակերևույթից միայն նորմալ P_z ուժով բեռնավորված անշարժ անվի կենտրոնի ունեցած հեռավորության՝ անվի ստատիկական r_{us} շառավողի համար կստանանք.

$$r_{\text{սու}} = r_{\text{ազ}} - h_z : \quad (2)$$

Դիտարկվող $h_z = f(P_z)$ կախման ընդհանուր բնույթը գրաֆիկական ձևով արտահայտված է նկ.2-ում, որտեղ P_{w_i} -ով նշանակված են դողի ներսի օդի ավելցուկային ճնշումըները, $\text{Ն}/\delta^2$:

Նկ.2-ից երևում է, որ $h_z = f(P_z)$ կապը գծային չէ, այսինքն՝ չկա ուղիղ համեմատական կախում նորմալ ուժի և ճկվածքի միջև (անկախ դողի ներքին օդի ճնշման արժեքից):

Անհրաժեշտ է նշել, որ նկ.2-ում պատկերված է h_z և P_z փոփոխական մեծությունների միջև միջինացված կախումը:



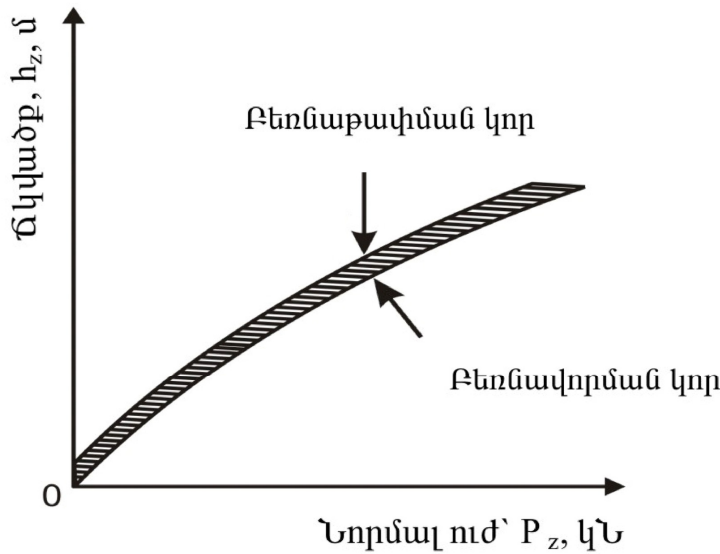
Նկ.2. Ներքին օդի ճնշման՝ P_{w_i} տարրեր արժեքների դեպքում անվի վրա P_z բեռնվածքից դողի միջինացված նորմալ h_z ճկվածքի կախման ընդհանուր գրաֆիկական տեսքը:

Նկ.2-ից պարզ երևում է, որ դողի $C_z = \frac{\partial P_z}{\partial h_z}$ կոշտությունը՝ դիտարկվող $h_z = f(P_z)$

կախման որևէ կետում այդ կորին տարված շոշափողի անկյունային գործակիցը (ածանցյալը), հաստատուն չէ: Պնևմատիկ դողը բնութագրվում է՝ սկզբնական 0 կետում ունեցած նվազագույն P_z փոքր արժեքների դեպքում ներքին օդի P_w ճնշման ավելացմանը զուգընթաց կտրուկ աճող և զգալի P_z արժեքների դեպքում, անկախ P_w մեծությունից, կայունացող C_z , կՆ/մ կոշտությամբ:

Իրականում որևէ P_w արժեքի դեպքում դիտարկվող այդ կախումն ունի նկ.3-ում ցույց տրված տեսքը: Ներքեւ դասավորված գիծը վերաբերում է անվի վրա ազդող նորմալ P_z ուժի աճման (բեռնավորում), իսկ վերը դասավորվածը՝ նվազման (բեռնաթափում) պրոցեսին: Նրբագծված մակերեսը համապատասխանում է աշխատանքի (Էներգիա) անվերադարձ հիստերեզիսային կորուստներին: Դրանց պատճառով մասնավորապես բարձրանում է անվի ներքին օդի և դողի զերմաստիճանը:

Ավտոմոբիլային ճանապարհների անհարթությունների, թերությունների, կորությունների և այլ պատճառներով շարժման ընթացքում անընդհատ առաջանում է անիվների վրա ազդող նորմալ ուժի սահուն կամ խիստ դինամիկ փոփոխություն, ինչը մեղմվում է առաջին հերթին հենց դողերի կողմից, դրանց առաջգականությամբ պայմանավորված տատանումների մարման և կլանման հատկությունների հաշվին:



Նկ.3. Անվի վրա նորմալ P_z բեռնավածքից դողի h_z ճկվածքի իրական կախման գրաֆիկական տեսքը:

Այսպիսով, այսպիս է դառնում անվի նորմալ C_z կոշտության, որպես կարևորագույն հատկանիշներից մեկի նշանակությունը, քանի որ այն պայմանավորում է ավտոմոբիլի ընթացքի սահունությունը: Իսկ վերջինս ընդհանուր առմամբ բնութագրում է տեղափոխավող բեռների պահպանումը և ուղևորների փոխադրման հարմարավետությունը:

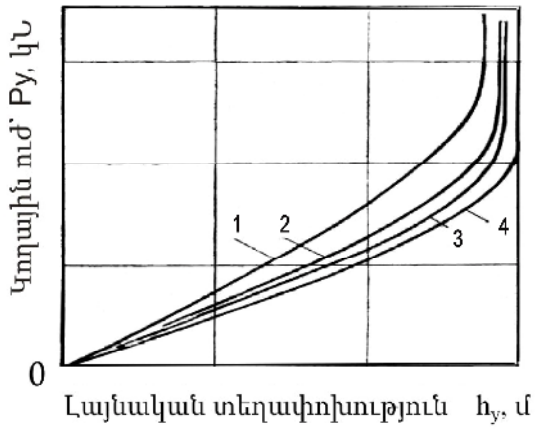
2. Դողի ներքին օդի ճնշման՝ p_{w_i} տարրեր արժեքների դեպքում, նորմալ P_z ուժի ազդեցության պայմաններում անվի կենտրոնական հարթության լայնական h_y տեղափոխությունների կախումը կողային P_y ուժից:

Դիտարկվող $h_y = f(P_y)$ կախման ընդհանուր տեսքը դողի ներքին օդի ճնշման՝ p_{w_i} տարրեր արժեքների դեպքում արտահայտված է նկ. 4-ում: Դողի կողային կոշտությունը՝ $h_y = f(P_y)$ կախման $C_y = \frac{\partial P_y}{\partial h_y}$ ածանցյալը, այդ կախման գրաֆիկական կորի տվյալ կետում տարված շոշափողի անկյունային գործակիցն է:

Հաստատված է, որ C_y արժեքը p_w -ից ավելի քիչ է կախված, քան C_z արժեքը: Բացի այդ՝ հաստատված է, որ անկախ p_w -ի մեծությունից՝ կողային P_y ուժի զրոյականից մինչև հենարանային մակերևույթի հետ կցմամբ սահմանափակված առավելագույն արժեքը, C_z -ը գործնականորեն մնում է անփոփոխ:

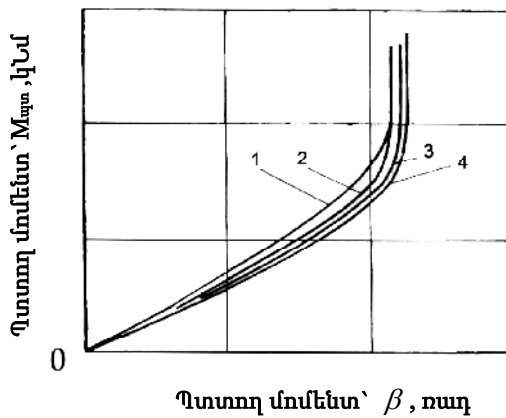
Դողի կողային C_y կոշտությունը նույնականացնում է կարևոր բնութագիր: Այն մեծ նշանակություն ունի ավտոմոբիլի կայունության և կառավարելիության հատկանիշների ձևավորման գործում: Իսկ այս հատկանիշներով, ինչպես հայտնի է, զիսավորապես պայմանավորվում է ավտոմոբիլի ակտիվ անվտանգությունը:

Ինչպես C_z , այնպես էլ C_y կոշտությունն ունի կՆ/մ չափողականություն:



Նկ.4. Դողի ներքին օդի ճնշման՝ p_{w_i} տարրեր արժեքների դեպքում անվի վրա P_y կողային ուժից դողի լայնական h_y տեղափոխությունների կախման գրաֆիկական տեսքը:

3. Նորմալ P_z ուժով բեռնավորված անվի վրա պտտող $M_{w\infty}$ մոմենտի (ուժագույզի) կիրառումն առաջացնում է անվահեցի դիրքի որոշակի պտույտ հենարանային մակերևույթի հետ ունեցած անվի հավատեղի նկատմամբ: Եթե ազդող մոմենտի մեծությունը գերազանցի դողի և հենարանի հպման մակերևույթում գործող կցման ուժով պայմանավորված արժեքը, ապա տեղի կունենա տեղապտույտ (դողի հավատեղի տարրերի սահք հենարանային մակերևույթի նկատմամբ): Դիտարկվող $\beta = f(M_{w\infty})$ կախումը դողի ներքին օդի ճնշման՝ p_{w_i} տարրեր արժեքների դեպքում ընդհանուր տեսքով պատկերված է նկ. 5-ում:



Նկ.5. Դողի ներքին օդի ճնշման՝ p_{w_i} տարրեր արժեքների դեպքում անվի վրա պտտող $M_{w\infty}$ մոմենտից դողի պտտման β անկյան կախման գրաֆիկական տեսքը:

Ծրջանագծային ուղղությամբ դողի ձևափոխությունը բնութագրվում է դրա C_β [կՆմ/ռադ] կոշտությամբ, ինչը հանդիսանում է անվի վրա կիրառված պտտող $M_{w\infty}$ մոմենտի ածանցյալը՝ ըստ դողի պտտման β անկյան, այսինքն՝ $C_\beta = \frac{\partial M_{w\infty}}{\partial \beta}$: Այս պարամետրը պայմանավորում է կանգնած ավտոմոբիլի տեղից շարժման սահունությունը, ուժային փոխանցման (տրանսմիսիա) մանրամասերի ծանրաբեռնվածությունը և մաշը:

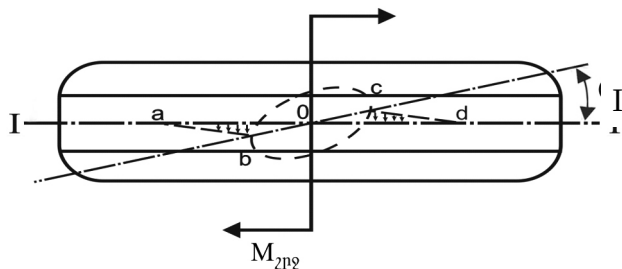
Նկ. 5-ից երևում է, որ սկզբնական մասում դիտարկվող կախումը գծային է, որտեղ C_β

մեծությունը հաստատում է և կախված չէ $M_{\text{պո}}$ -ի արժեքից:

Դողի վրա ազդող նորմալ P_z ուժի և ներքին օդի p_w ճնշման մեծացումը հանգեցնում է դրա պտտման C_β կոշտության արժեքի աճի: Այս միտումն ավելի ընդգծված զգացվում է p_w -ի բարձր արժեքների դեպքում:

4. Ուղղաձիգ P_z ուժով բեռնավորված անվի վրա հենարանային մակերևույթին զուգահեռ շրջող $M_{\text{ըր}}$ ուժագույզի կիրառումն առաջացնում է անվահեցի որոշակի θ անկյան պտույտի հպման մակերևույթի նկատմամբ: Դիտարկվող $M_{\text{ըր}}$ մոմենտը հավասարակշռվում է ճանապարհի կողմից անվադողին միևնույն մեծության, բայց հակառակ ուղղված, հակազդող $M_{\text{հալ}}$ մոմենտով:

Այդ ուժագույզերի ազդեցությամբ անվի ձևափոխվում է հպատեղի շրջանում և դրանից դուրս: Այդ ձևափոխությունը բնութագրվում է անվի միջին I-I հարթության նկատմամբ պահպանաշերտի միջին գծի “*abocd*” գրաված դիրքով (նկ. 6): Պահպանաշերտի միջին գծի “*oba*” ձևափոխությանը զուգահեռ դողը հպատեղի մյուս կողմում ձևափոխվում է նույնպիսի, սակայն հակառակ ուղղված “*ocd*” բեկյալով: Նկարագրված ձևափոխությունն անվանվում է դողի անկյունային ձևափոխություն, ինչը գնահատվում է θ անկյան արժեքով: Փորձերը ցույց են տալիս, որ θ արժեքն աճում է անվի վրա կիրառվող $M_{\text{ըր}}$ մոմենտի աճին զուգընթաց: Այդ մոմենտի առավելագույն արժեքը սահմանափակվում է դողի պահպանաշերտի տարրերի և ճանապարհի (հենարանային մակերևույթի) միջև կցման ուժերով:



Նկ.6. Շրջող $M_{\text{ըր}}$ մոմենտի ազդեցությամբ անվի θ անկյունային ձևափոխության սխեման:

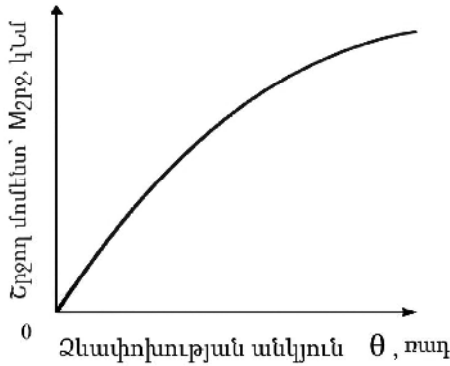
Նկ. 7-ում ցույց է տրված հարթ կոշտ հենարանային մակերևույթի վրա՝ էլաստիկ դողով կահավորված նորմալ P_z ուժով բեռնավորված անվի համար $M_{\text{ըր}}$ և θ պարամետրերի միջև փորձնականորեն ստացված $M_{\text{ըր}} = f(\theta)$ կախման տիպական գրաֆիկական տեսքը:

Ինչպես երևում է նկարից, $M_{\text{ըր}}$ և θ փոփոխականների միջև ուղիղ համեմատական կախում չկա: $M_{\text{ըր}}$ մոմենտի աճը հանգեցնում է θ անկյան ավելի արագ աճի: Այդ երևույթը բացատրվում է անվի և հենարանի հպատեղում պահպանաշերտի տարրերի սահքի ինտենսիվացմամբ:

$M_{\text{ըր}}$ մոմենտի փոքր արժեքների դեպքում սահում են միայն անվի հպատեղի եզրագծին մոտ դասավորված դողի պահպանաշերտի տարրերը: $M_{\text{ըր}}$ մոմենտի աճը հանգեցնում է սահքի

տարածմանը դեպի հպատեղի կենտրոն: Մոմենտի հետագա աճի ընթացքում, դրա որոշակի արժեքի դեպքում սահքն ընդգրկում է հպատեղի ողջ մակերեսը: Ծրջող մոմենտի այդպիսի սահմանային արժեք հանդիսանում է դողի և ճանապարհի միջև շփման ուժերի ստեղծած հակազդող $M_{\text{հակ}}$ մոմենտի մեծությունը: Դիտարկվող դեպքում էլաստիկ դողով ավտոմոբիլային անվի ստատիկական բնութագիրը դրա անկյունային կոչտությունն է, ինչը որոշվում է որպես $M_{\text{շո}}$

և θ պարամետրերի միջև կախման ածանցյալ՝ $C_{\theta} = \frac{\partial M_{\text{շո}}}{\partial \theta}$:



Նկ.7.Անվի վրա շրջող $M_{\text{շո}}$ մոմենտից դողի θ անկյունային ձևափոխության կախման գրաֆիկական տեսքը:

Դողի անկյունային կոշտությունն ունի կՆմ/ռադ չափողականություն: Այն պայմանավորում է ավտոմոբիլի կառավարման դյուրինությունը և իր իսկ դողի աշխատանքը: Դողի անկյունային կոշտության փոքր արժեքների դեպքում տեղի ունի ավտոմոբիլի անհվեների արագ պտույտ և շերտուն առաջարկված շարժման հետագծից: Դիտարկվող կոշտության բավարար արժեքների դեպքում անվի պտույտը կատարվում է հեշտությամբ և առանց պահպանաշերտի տարրերի սահքի (հենարանային համան մասում):

1.2.Անվի շառավիղները

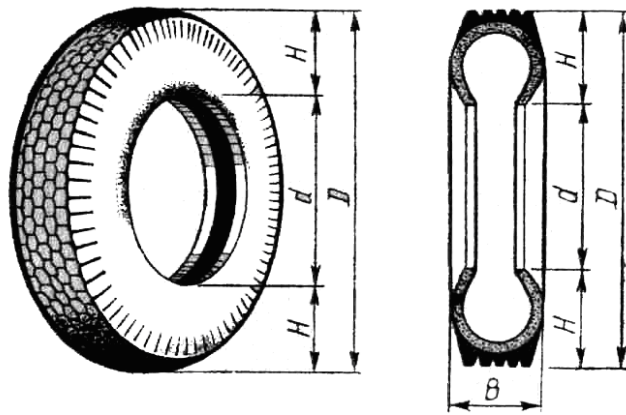
Անվի ազատ $r_{\text{ազ}}$ և ստատիկ $r_{\text{ստ}}$ շառավիղների մասին արդեն ասվել է, միայն ավելացնենք, որ դողերին ներկայացվող տեխնիկական պահանջներով (պետստանդարտներով)` առավելագույն նորմալ ուժով բեռնավորման դեպքում $r_{\text{ստ}}$ շափը նորմավորված է: Մոտավոր հաշվարկներում, օգտվելով դողի նշանակման թվերից (պրոֆիլի H բարձրություն և B լայնություն, նկ.8), կարելի է կիրառել այսպիսի բանաձև:

$$r_{\text{ստ}} = 0,5D + \Delta\lambda_{\text{ազ}} \cdot B,$$

որտեղ D -ն անվահեցի նստեցումային տրամագծի չափն է, մ, $\Delta = H:B$,

$\lambda_{\text{ազ}}$ ՝ նորմալ բեռի ազդեցության հետևանքով դողի տրորման գործակիցը:

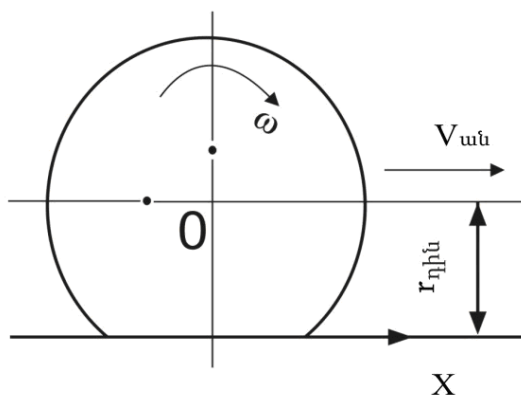
Դողի տեսակից, ավելի ստույգ՝ դրա նշանակությունից (մարդատար կամ բեռնատար ավտոմոբիլների, ավտոբուսների) կախված՝ $H:B$ հարաբերությունն ունի իր սահմանված արժեքը և ընդհանուր առմամբ գտնվում է $0,7...1,0$ սահմաններում:



Նկ.8. Դողերի չափերի նշանակումը:

Բեռնատար ավտոմոբիլների, կցորդների և ավտոբուսների համար $H:B=1,0$, իսկ մարդատարների համար՝ $0,7...0,8$. Բեռնատարների համար $\lambda_{up} = 0,85$, մարդատարների՝ $0,9$:

Բնութագրիչ մյուս՝ $r_{\eta\eta}$ դինամիկական շառավիղը գլորվող կենտրոնի հեռավորությունն է հենարանային մակերևույթից (նկ. 9):



Նկ.9. Անվի դինամիկական $r_{\eta\eta}$ շառավիղը:

Կոշտ, չդեֆորմացվող ճանապարհային ծածկույթների վրա ավտոմոբիլի շարժման դեպքում անվի դինամիկական շառավիղը ընդունվում է մոտավորապես հավասար ստատիկ շառավիղին՝

$$r_{\eta\eta} \approx r_{qi} :$$

Ավտոմոբիլի շարժումն ուսումնասիրելիս օգտագործվող անվի մյուս շառավիղը՝ գլորմանն (կիմենատիկական) է՝ r_{qi} -ն, ինչն անվի համընթաց շարժման արագության երկայնական V_x բաղադրիչի հարաբերությունն է և անկյունային արագությանը (նկ. 9, x առանցքի ուղղությունը).

$$r_{qi} = V_x / \omega :$$

Գլորման շառավիղը որոշվում է փորձնական եղանակով՝ որպես անվի անցած S ճանապարհի և կատարած ու ամրող թվով պտույտների հարաբերություն.

$$r_{qi} = S / 2\pi n :$$

Անվի վրա ազդող M_{up} պտուղը մոմենտն առաջացնում է r_{qi} շառավիղի նվազում, իսկ արգելակող մոմենտը հանգեցնում է r_{qi} արժեքի մեծացման (նկ.10):

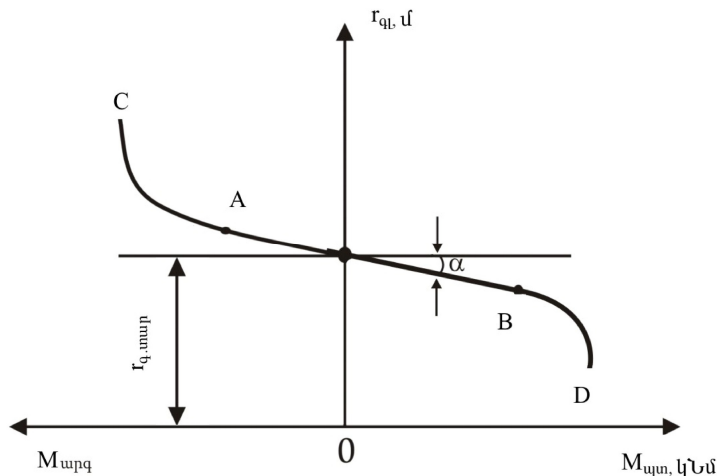
D կետում անիվը սկսում է ամբողջովին տեղապտույտ կատարել, այսինքն՝ $r_{q_l} = 0$: C

կետից սկսած՝ անիվն առանց պտտվելու ամբողջովին սայթաքում է հենարանային մակերևույթով, հետևաբար $r_{q_l} = \infty$:

Կորի AB հատվածում անիվը հենարանային մակերևույթում իրականացնում է առավելագույն՝ կցման ուժերով պայմանավորված, արգելակող կամ պտտող մոմենտի մինչև $60\%-ը$, և այդտեղ $r_{q_l} = f(M)$ կախումը դիտարկվում է գծային և արտահայտվում է հետևյալ կերպ:

$$r_{q_l} = r_{q_l, \text{տար}} - \lambda_{\text{տ}} \cdot M,$$

որտեղ $r_{q_l, \text{տար}} -$ տարվող ($M = 0$) անվի գլորման շառավիղն է, $\lambda_{\text{տ}}$ -դողի տաճանացիալ էլաստիկության գործակիցն է, որը հավասար է AB հատվածի α թերության անկյան երկրաչափական տաճանաչին՝ $\text{tg}\alpha$, M -անվի վրա ազդող մոմենտն է (ոլորողի դեպքում տեղադրվում է դրական, իսկ արգելակողի՝ բացասական նշանով):



Նկ.10. Պտտող $M_{\text{պտ}}$ (արգելակող $M_{\text{արգ}}$) մոմենտից անվի գլորման r_{q_l} շառավիղի կախման գրաֆիկական տեսքը:

1.3.ԱՎՏՈՄՈՔԻԼԱՅԻՆ ԱՆՎԻ ՉԱՐԺՄԱՆ ԴԻՆԱՄԻԿԱՆ

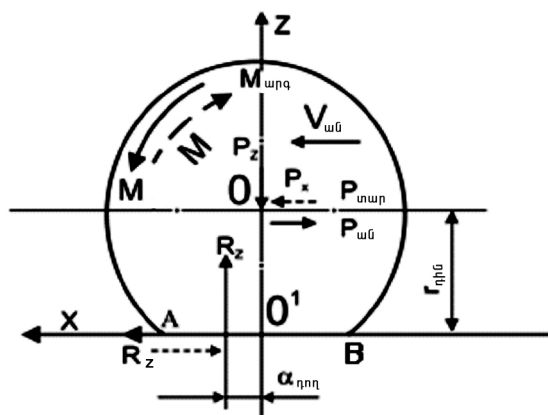
Զձևափոխվող (կոշտ) ծածկույթով ճանապարհի վրա ուղղագիծ համընթաց անհավասարաչափ շարժման դեպքում ավտոմոքիլային անվի վրա ազդող ուժային գործոնները (ուժեր, հակագործուներ, մոմենտներ), կինեմատիկական (գծային, անկյունային արագություններ) և երկրաչափական (դինամիկական շառավիղ, նորմալ հակագրման շեղում) պարամետրերը ցույց են տրված նկ. 11-ում:

P_z , P_x ուժերը և M մոմենտն անվի վրա ազդում են ավտոմոքիլի կողմից: P_z -ն անվի նորմալ բեռնվածքն է, ինչը մշտապես գործում է ուղղահայաց հենարանային հարթությանը և ուղղված է դեպի ներքև: P_x -ն անվի երկայնական ուժն է: Այն գուգահեռ է հենարանի հարթությանը և, կախված անվի շարժման ռեժիմից, կարող է ուղղված լինել անվի շարժման կամ հակառակ ուղղությամբ: Սի դեպքում անվի շարժման ուղղությամբ ազդող երկայնական ուժը կոչվում է հրող ուժ և նշանակվում է $P_{առար}$ (տարվող), մյուս դեպքում այն կոչվում է քարշիչ ուժ և նշանակվում

$P_{\text{աճ}}$ (աճիվ): M մոմենտն անվին կարող է փոխանցվել ավտոմոբիլի տանող կամքակի կիսատևուց՝ $M_{\text{այլ}}$ (պտտող-տանող մոմենտ), ինչը դրական է և ունի անվի պտտման ուղղությունը: Կամ անվին մոմենտ կարող է փոխանցվել արգելակային թմբուկից՝ $M_{\text{արգ}}$ (արգելակող մոմենտ), ինչը բացասական է և ուղղված է անվի պտտման ուղղությանը հակառակ:

R_x -ը և R_z -ը հենարանային մակերևույթի (ճանապարհ) համապատասխանաբար երկայնական և նորմալ հակազդումներն են: R_z -ն ուղղահայաց է հենարանային մակերևույթին և միշտ ուղղված է վերև: Դրա կիրառման կետն անվի կենտրոնից ճանապարհի մակերևույթին իջեցված ուղղահայացի O' հիմքից շեղված է $a_{\eta\eta}$ չափով, ինչը բացատրվում է հիմնականում դողի նյութի ներքին հիստերեօքիսային (սեղմում՝ կոնտակտի AO' մասում դողի վազքով մտնող տարրերի համար և ուղղում՝ կոնտակտի $O'B$ մասում դողի վազքով դուրս եկող տարրերի համար) և որոշ չափով՝ շառավղային ուղղությամբ դողի տարրերի ձևափոխությունների հետ կապված հենարանային մակերևույթի հետ շփմամբ պայմանավորված կորուստներով:

Նշանակենք $a_{\eta\eta} / r_{\eta\eta} = f_{\eta\eta}$, ինչը կոչվում է դողի (անվի) գլորման դիմադրության գործակից: Նշանակենք $R_z \cdot f_{\eta\eta} = P_f$: Այս ուժն անվանվում է անվի գլորման դիմադրության ուժ:



Նկ.11. Զդեֆորմացվող մակերևույթով համընթաց անհավասարաչափ շարժվող անվի երկրաչափական ու կինեմատիկական պարամետրերը, ազդող ուժային գործոնները:

1.3.1. Ծահագործական և կառուցվածքային գործոնների ազդեցությունն անվի գլորման դիմադրության գործակի վրա

Ընդհանուր առմամբ գլորման դիմադրության f գործակիցը կախված է ճանապարհի ծածկույթի տեսակից և վիճակից, անվի շարժման արագությունից, դողի ներքին օդի ճնշումից, ջերմաստիճանից, կառուցվածքային առանձնահատկություններից, անվի չափերից, նորմալ ուժից, փոխանցվող մոմենտից:

ա) ճանապարհային ծածկույթի տեսակի և վիճակի ազդեցությունը

Ընդհանուր առմամբ, որքան ճանապարհային ծածկույթը ձևափոխվող է, այնքան մեծ է անվի գլորման դիմադրությունը (գործակիցը, ուժը): Այսպես, չոր ավագի վրա $f=0.1-0.3$, իսկ չոր պնդացված (գլորնված, լմված) գրունտային ճանապարհներում՝ $0.025-0.035$: Նույնիսկ կոշտ ճանապարհային ծածկույթները ենթարկվում են ձևափոխությունների, որոնք առաջացնում են

գլորման դիմադրություն (կորուստներ): Անգամ լավ վիճակի չոր ասֆալտբետոննե ծածկույթներում $f=0.007-0.015$, իսկ եթե այն գտնվում է քավարար վիճակում, ապա ընդունվում է $f=0.015-0.020$: Կոպճային ծածկույթների համար $f=0.020-0.025$:

Ծանապարհի ծածկույթի անհարթությունները ստեղծում են դիմամիկ բեռնվածություններ, որոնք առաջացնում են դրդերի լրացուցիչ ձևափոխություններ և դրանց հետ կապված լրացուցիչ հիստերեզիային կորուստներ: Օրինակ՝ գետաքարով սալարկված խճուղում դրա լավ վիճակի համար ընդունվում է $f=0.025-0.030$, այսինքն՝ 50% ավելի, քան ասֆալտբետոնի դեպքում, չնայած երկու դեպքում էլ հենարանային մակերևույթների ձևափոխությունները գործնականորեն միևնույնն են: Իսկ եթե գետաքարե ճանապարհը վատ վիճակում է (փոսեր, ջարդվածքներ), ապա $f=0.035-0.050$, այսինքն՝ գերազանցում է անգամ չոր, պնդացված գրունտային ճանապարհների գլորման դիմադրության գործակիցը:

Միևնույն ճանապարհային ծածկույթի համար, կախված դրա վիճակից, f -ը կարող է փոփոխվել 1.5-2.0 անգամ:

Կարևոր նշանակություն ունի նաև ծածկույթի վիճակը բնութագրող խոնավության պարունակման աստիճանը (չոր, քաց), ինչից կախված՝ f -ը կարող է փոփոխվել, օրինակ, ավագի դեպքում 1.5-2.0, ավագակավի՝ 2.5-3.0 անգամ: Փխրուն ձյան համար $f=0.1-0.3$, պնդացած ձյան՝ 0.03-0.05, իսկ սառույցի՝ 0.015-0.030:

բ) Անվի շարժման արագության ազդեցությունը

Որպես կանոն, անվի շարժման $V_{w\ddot{a}}$ արագության մեծացումը հանգեցնում է f -ի արժեքի ավելացման: Պատճառը դիմամիկական բեռնվածությամբ առաջացող դրդի լրացուցիչ ձևափոխություններն են: Դիտարկվող կախման գրաֆիկական օրինակների պատկերը ցույց է տրված նկ. 12-ում:

Հարք ճանապարհների վրա արագության որոշակի արժեքի դեպքում սկսում է f -ի կտրուկ աճի պրոցես: Ընդ որում, որքան ցածր է դրդի ներքին օդի p_w ճնշումը, այնքան նշված պրոցեսը նկատվում է արագության ավելի փոքր արժեքների դեպքում:

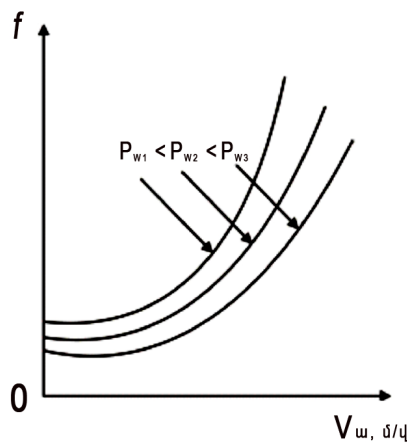
Մեծ արագությունների դեպքում f -ի շեշտակի աճը բացատրվում է դրդի վազքամասի տարրերի ալիքաձև տատանումներով, որոնք այդ տարրերի ձևափոխության և սեփական տատանումների հաճախականությունների համընկնման հետևանք են: Դրա համար էլ դրդերը բնութագրվում են նաև ալիքառաջացման (կանգնած ալիք) կրիտիկական արագություններով:

Անվի շարժման արագության ազդեցությունը հաշվի առնելու համար առաջարկված են մի շարք փորձնական արտահայտություններ, որոնցից մեկն ունի հետևյալ տեսքը.

$$f = f_0 \left(1 + \frac{V_{w\ddot{a}}^2}{20000} \right),$$

որտեղ f_0 -ն փոքր արագությունների դեպքում (5-8մ/վ) գլորման դիմադրության գործակիցն է:

զ) Դրդի ներքին օդի ճնշման ազդեցությունը



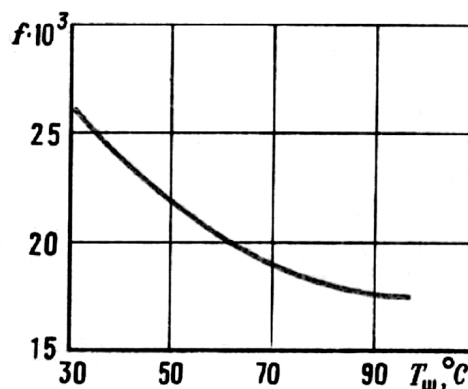
Նկ.12. Դողի ներքին օդի ճնշման՝ P_w տարրեր արժեքների դեպքում ավտոմոբիլի շարժման V_w արագությունից անվի գլորման դիմադրության f գործակցի կախման գրաֆիկական տեսքը:

Դիտարկվող գործունի ազդեցությունն անվի գլորման դիմադրության f գործակցի վրա պայմանավորված է հենարանային մակերևույթի տեսակով: Ամուր ծածկույթի դեպքում P_w -ի մեծացումը հանգեցնում է f -ի արժեքի նվազման: P_w -ի նոմինալ (նախատեսված գործարանքողակողի կողմից) արժեքի դեպքում f -ը դառնում է նվազագույն մեծություն: P_w -ի արժեքի հետագա զգալի մեծացումը հանգեցնում է f -ի մեծության որոշ ավելացման, ինչը տեղի ունի անվի և հենարանի անհարթությունների փոխազդեցության դինամիկական բեռնվածության աճի պատճառով:

Փափուկ ճանապարհային ծածկույթների յուրաքանչյուր տարատեսակի (ավազ, վարած դաշտ և այլն) համապատասխանում է P_w -ի արժեք, որի դեպքում f -ը նվազագույն է:

դ) Դողի ջերմաստիճանի ազդեցությունը

Ջերմաստիճանի աճը հանգեցնում է f արժեքի նվազման: Դա բացատրվում է դողի նյութի հիստերեզիսային կորուստների նվազմամբ և դողի ներքին օդի ճնշման ավելացմամբ: Գլորման դիմադրության f գործակցի և T C ջերմաստիճանի կախման գրաֆիկական տեսքը պատկերված է նկ. 13-ում: Փորձերով հաստատված է, որ սովորական կառուցվածքի (հենքարելի անկյունագծային դասավորության) դողերի համար 100°C ջերմաստիճանային փոփոխությունը ($-7^{\circ}\text{C}...+97^{\circ}\text{C}$) առաջացնում է f արժեքի գրեթե 3 անգամ փոքրացում:



Նկ.13. Դողի T ջերմաստիճանից անվի գլորման դիմադրության f գործակցի կախման գրաֆիկական տեսքը:

ե) Դողի կառուցվածքային պարամետրերի ազդեցությունը.

- կորդի շերտերի թվի աճը հանգեցնում է f -ի արժեքի որոշակի ավելացման: Օրինակ՝ վեց շերտ ունեցող կորդով մարդատար ավտոմոբիլային դողի համար f -ը 5% ավելի է, քան երեք շերտի դեպքում:

- պահպանաշերտի հաստության աճը հանգեցնում է f -ի արժեքի մեծացման (հատկապես անկյունագծային դասավորության դողերի համար): Այս պատճառով դողի մաշը հանգեցնում է f -ի արժեքի նվազման: Լրիվ մաշված պահպանաշերտով դողը նորի համեմատ կարող է ունենալ 20-25% պակաս գլորման դիմադրության արժեք: «Ամենազնաց» նախշով (գրունտակառչակներ) պահպանաշերտով դողերը ճանապարհային նախշով դողերի համեմատ գրեթե երկու անգամ ծանր են և ունեն f -ի 25-30% ավելի մեծ արժեք:

- դողի ալրոֆիլի Հ բարձրության և Յ լայնության հարաբերության փոքրացումը, ինչպես նաև անվահեցի և դողի ալրոֆիլի լայնությունների հարաբերության մեծացումը հանգեցնում են դողի (անվի) գլորման դիմադրության գործակցի արժեքի նվազեցման:

- դողի հիմնակմախրի (հենքի) կառուցվածքը զգալիորեն ազդում է f -ի արժեքի վրա: Մինչև 30-35 մ/վ (108-126 կմ/ժ) արագության դեպքում շառավղային դասավորությամբ հենքաթելով դողերի f -ն ամենափոքր արժեք ունի և 15-20 % քիչ է անկյունագծայինի համեմատ: Մեծ արագությունների դեպքում գերադասելի են անկյունագծային հենքաթելով գոտուորված և ցածրապրոֆիլ դողերը: Պահպանաշերտի մաշին զուգընթաց շառավղային դողերի առավելությունը նվազում է:

- անվի տրամագծի մեծացումը հանգեցնում է f -ի փոքրացման: Ամուր ծածկույթի դեպքում, եթե մակերևույթը հարթ է, անվի տրամագիծը չնշին ազդեցություն ունի f -ի վրա: Մակերևույթի անհարթությունների չափերի և քանակի, ինչպես նաև անվի արագության մեծացմանը զուգընթաց գլորման դիմադրության գործակցը, կախված անվի տրամագծի մեծացումից, զգալիորեն փոփոխվում է: Հատկապես զգալի է f -ի փոքրացումը փափուկ (ձևափոխվող) գրունտի դեպքում:

- անվի լայնության մեծացումը կոչտ ճանապարհների վրա աննշան ավելացնում է, իսկ ձևափոխվող մակերևույթներում՝ զգալի փոքրացնում գլորման դիմադրության f գործակիցը:

Հետազոտություններով հաստատված է, որ ձևափոխվող ճանապարհներում գլորման դիմադրության մոտ 60%-ը պայմանավորված է դողի նյութի՝ ռետինի բաղադրագորությունից: Նվազ հիստերեզիսային հատկությամբ օժտված ռետինների օգտագործմամբ կարելի է հասնել մինչև 40% գլորման դիմադրության գործակցի արժեքի նվազեցման:

Ընդհանուր առմամբ, դողի էներգետիկ հատկանիշները բարելավող կառուցվածքային միջոցառումների համալիր կիրառմամբ հնարավոր է կոչտ ճանապարհային ծածկույթների վրա հասնել f -ի արժեքի 2-3 անգամ փոքրացման: Այդ է հաստատում այն փաստը, որ նշանակած պայմաններում դողերի լավագույն օրինակների համար $f = 0.005$, իսկ ընդհանուր առմամբ դողերի մեծամասնության համար $f = 0.012 - 0.015$:

զ) Անվի վրա գործող մոմենտի ազդեցության ուսումնասիրությունը անպայման ենթադրում է անվի շարժման դիմամիկայի քննարկում:

Ավտոմոբիլի համընթաց շարժման դեպքում անվի 0 կենտրոնի (նկ.11) և ավտոմոբիլի արագացումներն իրար հավասար են և որոշվում են հետևյալ արտահայտությամբ.

$$j_{\omega_{\text{լու}}} = j_{\omega_{\text{ա}} \cdot} = \frac{dV_{\omega_{\text{լու}}}}{dt} = \frac{dV_{\omega_{\text{ա}} \cdot}}{dt} = r_{q_l} \frac{d\omega_{\omega_{\text{ա}} \cdot}}{dt} : \quad (3)$$

Քննարկվող դեպքում, եթե հենարանային մակերևույթն ընդունվի որպես բացարձակ հարթ, ապա անվի շարժման հավասարումները կունենան հետևյալ տեսքը.

$$\begin{cases} \sum x = 0; P_{\omega_{\text{ա}} \cdot} = R_x - m_{\omega_{\text{ա}} \cdot} j_{\omega_{\text{լու}}}, \text{որտեղ } m_{\omega_{\text{ա}} \cdot} - \text{անվի զանգվածն է} \\ \sum z = 0; R_z = P_z; \\ \sum M(0) = 0; I_{\omega_{\text{ա}} \cdot} \frac{d\omega_{\omega_{\text{ա}} \cdot}}{dt} = M - R_x \cdot r_{\eta h \cdot} - R_z \cdot a_{\eta n \eta}: \end{cases} \quad (4)$$

Վերջին հավասարման մեջ $I_{\omega_{\text{ա}} \cdot}$ անվի իներցիայի մոմենտն է պտտման 0 կենտրոնի նկատմամբ: Այդ հավասարումից ունենք

$$R_x = \frac{M}{r_{\eta h \cdot}} - R_z \frac{a_{\eta n \eta}}{r_{\eta h \cdot}} - \frac{I_{\omega_{\text{ա}} \cdot}}{r_{\eta h \cdot}} \cdot \frac{d\omega_{\omega_{\text{ա}} \cdot}}{dt} : \quad (5)$$

Անիվը պտտական շարժումը համընթացի վերածող մեխանիզմ է և, ինչպես յուրաքանչյուր իրական մեխանիզմ, բնութագրվում է հզորության կորուստներով, որոնք մատուցվող (փոխանցվող) և ստացվող հզորությունների տարբերություններն են:

Անվին փոխանցվում է $N_{\omega_{\text{ա}} \cdot} = M\omega_{\omega_{\text{ա}} \cdot}$ և ստացվում է $N_{\omega_{\text{ա}} \cdot} = P_{\omega_{\text{ա}} \cdot} \cdot V_{\omega} = (R_x - m j_{\omega_{\text{լու}}})\omega_{\omega_{\text{ա}} \cdot} \cdot r_{q_l}$ հզորություն: Օգտվելով 5-րդ հավասարումից՝ կարող ենք գլորման հետ կապված հզորության կորստի N_f համար գրել՝

$$N_f = N_{\omega_{\text{ա}} \cdot} - N_{\omega_{\text{ա}} \cdot} = \left[M \left(\frac{r_{\eta h \cdot} - r_{q_l}}{r_{\eta h \cdot}} \right) + a_{\eta n \eta} R_z \frac{r_{q_l}}{r_{\eta h \cdot}} + \left(\frac{I_{\omega_{\text{ա}} \cdot}}{r_{\eta h \cdot}} + m r_{q_l} \right) \cdot j_{\omega_{\text{լու}}} \right] \omega_{\omega_{\text{ա}} \cdot} : \quad (6)$$

Եթե նշանակենք

$$\left(\frac{I_{\omega_{\text{ա}} \cdot}}{r_{\eta h \cdot}} + m r_{q_l} \right) \cdot j_{\omega_{\text{լու}}} \omega_{\omega_{\text{ա}} \cdot} = N_{j_{\omega_{\text{լու}}} \omega_{\omega_{\text{ա}} \cdot}}, \text{իսկ } \left[M \left(\frac{r_{\eta h \cdot} - r_{q_l}}{r_{\eta h \cdot}} \right) + a_{\eta n \eta} R_z \frac{r_{q_l}}{r_{\eta h \cdot}} \right] \cdot \omega_{\omega_{\text{ա}} \cdot} = N_f,$$

ապա $N_{j_{\omega_{\text{լու}}} \omega_{\omega_{\text{ա}} \cdot}}$ ցույց կտա անվի պտտական և համընթաց շարժման կինետիկ էներգիաների տարբերությունը, իսկ N_f ՝ անվի գլորման հզորության անվերադարձ կորուստը, ինչը հանդիսանում է գլորման դիմադրության հզորությունը: Գլորման դիմադրության մոմենտի համար կարող ենք գրել՝

$$M_f = \frac{N_f}{\omega_{\omega_{\text{ա}} \cdot}} = M \left(\frac{r_{\eta h \cdot} - r_{q_l}}{r_{\eta h \cdot}} \right) + a_{\eta n \eta} R_z \frac{r_{q_l}}{r_{\eta h \cdot}} :$$

Գլորման դիմադրության ուժի՝ $p_f = M_f / r_{q_l}$ համար ունենք

$$P_f = M \left(\frac{r_{\eta h \bar{a}} - r_{q_L}}{r_{\eta h \bar{a}} \cdot r_{q_L}} \right) + \frac{a_{\eta \eta \eta} R_z}{r_{\eta h \bar{a}}} :$$

Գլորման դիմադրության գործակցի՝ $f = P_f / R_z$ համար կարող ենք գրել՝

$$f = \frac{a_{\eta \eta \eta}}{r_{\eta h \bar{a}}} + \frac{M}{R_z} \left(\frac{r_{\eta h \bar{a}} - r_{q_L}}{r_{\eta h \bar{a}} \cdot r_{q_L}} \right) = f_{n_{\text{nd}}} + f_{l_{\eta h \bar{a}}}, \quad (7)$$

որտեղ գլորման դիմադրության f գործակցի $f_{n_{\text{nd}}} = a_{\eta \eta \eta} / r_{\eta h \bar{a}}$ բաղադրիչը բնութագրում է ուժային կորուստները, որոնք պայմանավորված են նորմալ հակազդման $a_{\eta \eta \eta}$ չափով շեղման (Ակ.11) պատճառով անվի շարժմանը հակառակ ուղղված մոմենտի առաջացմամբ: Մյուս $f_{l_{\eta h \bar{a}}} = M(r_{\eta h \bar{a}} - r_{q_L}) / R_z \cdot r_{\eta h \bar{a}} \cdot r_{q_L}$ բաղադրիչը բնութագրում է գլորման կինեմատիկական կորուստները: Դրանք պայմանավորված են տանող մոմենտի փոխանցման հետևանքով անվի գլորման շառավղի փորձացմամբ, ինչի պատճառով անվի անփոփոխ անկյունային արագության դեպքում առաջանում են ավտոմոբիլի շարժման արագության կորուստներ: Այսպիսով, $f_{l_{\eta h \bar{a}}}$ գործակիցը բնութագրում է անվի գլորման էներգետիկ կորուստները:

Տեղադրելով 5-րդ հավասարման մեջ $a_{\eta \eta \eta} / r_{\eta h \bar{a}}$ հարաբերության 7-րդ հավասարումից ստացվող արժեքը և նկատի ունենալով (1) արտահայտությունը՝ կարող ենք գրել՝

$$R_x = \frac{M}{r_{q_L}} - f R_z - \frac{I_{w\bar{a}}}{r_{\eta h \bar{a}} \cdot r_{q_L}} \cdot j_{w\bar{a}t} : \quad (8)$$

Նշանակենք $M / r_{q_L} = P_{w\bar{a}, 2p_2}$ և անվանենք անվի լրիվ շրջանային ուժ: Նկատի ունենալով, որ $M = N_{w\bar{a}} / \omega_{w\bar{a}}$, որտեղ $N_{w\bar{a}}$ անվին հաղորդվող հզորությունն է, կարող ենք գրել՝

$$P_{w\bar{a}, 2p_2} = \frac{N_{w\bar{a}}}{\omega_{w\bar{a}} \cdot r_{q_L}} = \frac{N_{w\bar{a}}}{V_{w\bar{a}t}} :$$

Հետևաբար լրիվ շրջանային ուժը ներկայացնում է անվի բեռնավորման որոշ պայմանական քանակական բնութագիր: Այն ունի ուժի չափողականություն և հավասար է ավտոմոբիլի կողմից անվի վրա գործող այն իրական ուժին, ինչը կառաջանար անվի հաստատում արագությամբ գլորման և էներգետիկ կորուստների բացակայության դեպքում:

Մյուս կողմից նկատի ունենալով 1-ին և 7-րդ արտահայտությունները՝ 5-րդ հավասարումը կարելի է ներկայացնել հետևյալ տեսքով.

$$R_x = \frac{M}{r_{\eta h \bar{a}}} - R_z f_{n_{\text{nd}}} - \frac{I_{w\bar{a}}}{r_{\eta h \bar{a}} \cdot r_{q_L}} \cdot j_{w\bar{a}t} : \quad (9)$$

Նշանակենք $M / r_{\eta h \bar{a}} = P_{p_w p_2}$ և այն անվանենք անվի լրիվ քարշիչ ուժ: Դա պայմանական ուժ է, հավասար այն իրական երկայնական ուժին, որը կառաջանար անվի հաստատում արագությամբ և առանց ուժային կորուստների գլորման դեպքում:

Համեմատելով 8-րդ, 9-րդ արտահայտությունները և հաշվի առնելով 7-րդ հավասարումը՝ անվի լրիվ շրջանային և քարշիչ ուժերի միջև կստանանք հետևյալ կապը.

$$P_{\omega\dot{\omega},\varphi\varphi} = P_{\rho\omega\rho\varphi} + R_z f_{\eta\dot{\eta}\dot{\omega}} :$$

Բազմապատկելով 8-րդ հավասարման կողմերը ավտոմոբիլի արագությամբ՝ կհամոզվենք, որ այն ներկայացնում է անվի էներգետիկ հաշվեկշիռը: Իրոք, ձախ մասում կունենանք անվին փոխանցվող հզորությունը, ինչը ծախսվում է անվից ավտոմոբիլին վերադարձվող, գլորման դիմադրությունը հաղթահարող և անվի կինետիկ էներգիան փոփոխող հզորությունների վրա:

9-րդ հավասարումը բնութագրում է անվի ուժային հաշվեկշիռը: Լուծվող խնդրից կախված՝ հարմար է օգտվել էներգետիկ կամ ուժային հաշվեկշիռներից:

Ստացված 8-րդ և 9-րդ արտահայտությունները, որոնք որոշում են ճանապարհի երկայնական հակագրեցությունը անվի վրա, կախված վերջինիս գլորման ուժիմներից, կրում են որոշ տեսքի փոփոխություններ: Ասվածը ցույց տանք 9-րդ հավասարման օրինակով: Անվի գլորման տարրեր ուժիմներում ազդող ուժային սխեմաները պատկերված են նկ.14, ա,թ,գ,դ,ե: Անվի երկայնական հակագրման կախումը մոմենտից ցույց է տրված նկ.14, գ-ում:

Տաճանող անվանվում է անվի գլորման այնպիսի ուժիմը, որի դեպքում երկայնական հակագրումը՝ $R_x > 0$ (նկ.14, ա):

Անվի կողմից ավտոմոբիլի վրա ազդում է P_x շարժման ուղղություն ունեցող քարշիչ ուժ, իսկ ավտոմոբիլի կողմից անվի վրա ազդում է նույնպիսի, բայց շարժմանը հակառակ ուղղված P_x երկայնական ուժ: Ազդող $M_{\rho\omega\rho\varphi}$ մոմենտի և անվի գլորման $\omega_{\omega\dot{\omega}}$ ուղղությունները համընկնում են:

Այս ուժիմը բնութագրում է նկ.14, գ-ում պատկերված 1 հատվածը:

9-րդ հավասարումից հետևում է, որ այս դեպքում անվի աշխատանքի պայմանը հետևյալ անհավասարությունն է.

$$M_{\rho\omega\rho\varphi} > f_{m\sigma} R_z r_{\eta\dot{\eta}\dot{\omega}} + \frac{I_{\omega\dot{\omega}} \cdot j_{\omega\dot{\omega}}}{r_{q_l}} : \quad (10)$$

Նշանակելով ավտոմոբիլի շարժիչի ծնկաձև լիսեռի վրա պտտող մոմենտը M_2 , բափանվի իներցիայի մոմենտը I_p , տրանսմիսիայի ընդհանուր փոխանցման թիվը i_{up} , օ.գ.գ.-ն դուրս և հաշվի առնելով, որ այս ուժիմում անվի վրա քարշիչ ուժը՝ $P_{\rho\omega\rho\varphi} = M_{\rho\omega\rho\varphi} / r_{\eta\dot{\eta}\dot{\omega}}$, 9-րդ հավասարումը կընդունի հետևյալ տեսքը.

$$R_x = P_{\rho\omega\rho\varphi} - R_z f_{m\sigma} - (I_p \cdot i_{up}^2 \cdot \eta_{up} + I_{\omega\dot{\omega}}) \cdot j_{\omega\dot{\omega}} / r_{\eta\dot{\eta}\dot{\omega}} r_{q_l}, \quad (11)$$

$$P_{\rho\omega\rho\varphi} = M_{\rho\omega\rho\varphi} / r_{\eta\dot{\eta}\dot{\omega}} = M_{z\omega\rho\sigma} \cdot i_{up} \cdot \eta_{up} / r_{\eta\dot{\eta}\dot{\omega}} : \quad (12)$$

9-րդ հավասարումից հետևում է, որ հնարավոր է անվի գլորման այնպիսի ուժիմ, երբ շարժիչից դրան հաղորդվի M_2 դրական մոմենտ, սակայն անիվը տանող չլինի: Իրոք, M_2 մոմենտի փոքր արժեքների դեպքում կարող է 10-րդ պայմանը չբավարարվել, ինչի հետևանքով ստացվի $R_x = 0$ կամ $R_x < 0$ երկայնական հակագրում: Դրանից կախված՝ տարրերում են անվի գլորման ազատ և չեղոք ուժիմներ:

Ազատ կոչվում է անվի գլորման այնպիսի ռեժիմը, որի դեպքում $R_x = 0$ (նկ. 14, զ, կետ՝ 2), այսինքն՝ տեղի ունի հետևյալ հավասարումը.

$$M = f_{\text{ուժ}} R_z r_{\eta\mu} + I_{\omega\dot{\alpha}} \cdot j_{\omega\dot{\alpha}} / r_{q_l} :$$

Այս դեպքում անիվը կոչվում է ազատ, որա վրա ազդող գործոնները ցույց են տրված նկ.14-ի բ պատկերում:

Չեզոք համարվում է անվի գլորման այն ռեժիմը (նկ.14, զ-ի հատված՝ 3), որի դեպքում $M_z > 0$, սակայն $R_x < 0$, այսինքն՝ ապահովվում է հետևյալ պայմանը.

$$0 < M_z < f_{\text{ուժ}} R_z r_{\eta\mu} + I_{\omega\dot{\alpha}} \cdot j_{\omega\dot{\alpha}} / r_{q_l} :$$

Այս դեպքում անիվը կոչվում է չեզոք, որա վրա ազդող գործոնները ցույց են տրված նկ.14-ի գ պատկերում: Այս ռեժիմում R_x -ը որոշվում է 11-րդ հավասարումով:

Տարվող ռեժիմում $M_z = 0$, ինչը բնութագրվում է նկ.14, զ-ի կետ՝ 4-ով: Անիվն այս ռեժիմում կոչվում է տարվող (նկ.14, դ), որի համար, համաձայն 9-րդ հավասարման, ունենք

$$R_x = -[f_{\text{ուժ}} R_z + I_{\omega\dot{\alpha}} \cdot j_{\omega\dot{\alpha}} / r_{\eta\mu} \cdot r_{q_l}] : \quad (13)$$

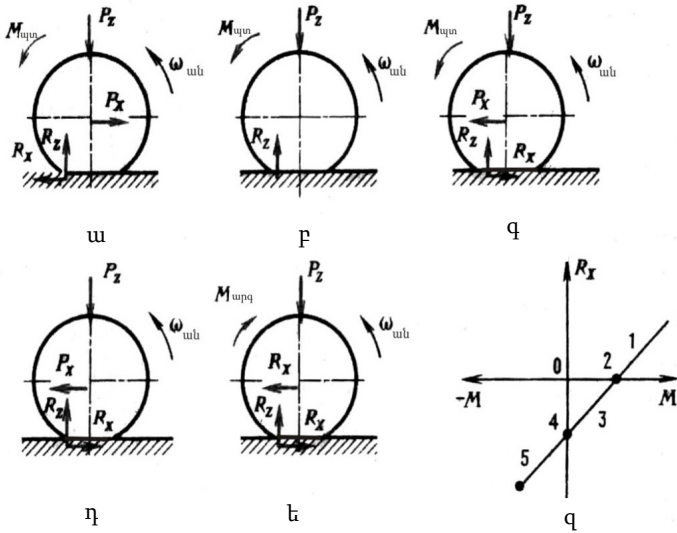
Հավասարման մեջ «մինուս» նշանը ցույց է տալիս, որ R_x հակազդումն ուղղված է շարժմանը հակառակ: Տարվող անվի գլորման դիմադրության M_f և իներցիոն մոմենտը որա արագացող պտտական շարժման դեպքում հաղթահարվում են հրող P_x ուժով ստեղծված մոմենտով: Իսկ անվի դանդաղող պտտական շարժման դեպքում M_f -ը մասնակիորեն հաղթահարվում է P_x ուժով ստեղծվող մոմենտով և անվի իներցիոն մոմենտով:

Արգելակային ռեժիմի դեպքում անվին հաղորդվում է $M_{\omega\rho q}$ մոմենտ, ինչը ուղղված է $\omega_{\omega\dot{\alpha}}$ ուղղությանը հակառակ և բնութագրվում է 5 հատվածով (նկ.14, զ): Այսպիսի անիվն անվանվում է արգելակող (նկ. 14, ե): Համաձայն (9) հավասարման՝ այս դեպքում ունենք

$$R_x = -[M_{\omega\rho q} / r_{\eta\mu} + f_{\text{ուժ}} R_z - I_{\omega\dot{\alpha}} \cdot j_{\omega\dot{\alpha}} / r_{\eta\mu} r_{q_l}] \quad (14)$$

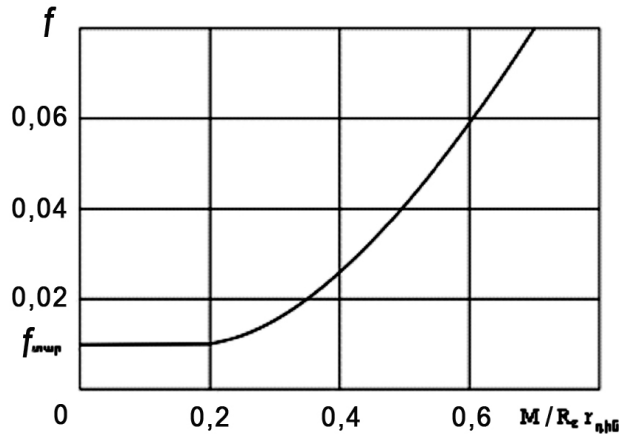
Սումենտ (քարշիչ, արգելակող) փոխանցելիս անվի գլորման դիմադրությունը մեծանում է: 7-րդ հավասարման մեջ ուժային $f_{\text{ուժ}} = a_{\eta\mu\eta} / r_{\eta\mu}$ բաղադրիչի փոփոխությունը, կախված M -ից, աննշան է և որա մեծությունը կարելի է ընդունել հավասար տարվող անվի գլորման դիմադրությանը: M մոմենտը հիմնականում հանգեցնում է մյուս՝ $f_{\eta\mu} = M(r_{\eta\mu} - r_{q_l}) / R_z r_{\eta\mu} r_{q_l}$ բաղադրիչի աճին, որով էլ պայմանավորվում է գլորման դիմադրության ընդհանուր f գործակցի մեծացումը:

Նկ. 15-ում ցույց է տրված f գործակցի կախման գրաֆիկական տեսքը քարշիչ (տանող) ռեժիմում չափողականություն չունեցող $M / R_z \cdot r_{\eta\mu}$ մեծությունից $\varphi_x = 0.7$ դեպքում:



Նկ.14. Գլորման տարբեր ռեժիմներում անվի վրա գործող ուժերի սխեմա:

Արգելակման ռեժիմում գլորման դիմադրության f գործակցի աճն ընթանում է համեմատաբար ավելի դանդաղ:



Նկ.15. Երկայնական կցման $\varphi_x=0,7$ գործակցի դեպքում $M/R_z \cdot r_{qL}$ մեծությունից՝ տանող անվի գլորման դիմադրության f գործակցի կախման գրաֆիկական տեսքը:

1.3.2. Անվի գլորման սահմանային դեպքերը: Կցման գործակից

Վերը բերված անվի գլորման r_{qL} շառավղի, f դիմադրության գործակցի (7) և ճանապարհի երկայնական R_x հակազդման (8) բանաձևերից հետևում է, որ անվի հաստատուն արագության, տրված չափերի և նորմալ բեռնավորման դեպքում $R_x = f(r_{qL})$: Սակայն ավելի հարմար է դիտարկել R_x / R_z չափողականություն չունեցող մեծության կախումը նոյնային չափողականություն չունեցող տեղապտույտի (տանող անիվ) կամ սահքի (արգելակող անիվ) տոկոսներով արտահայտված δ գործակցից.

$$\delta = \left(\frac{V_{\text{սես}} - V_{\text{հր}}}{V_{\text{սես}}} \right) \cdot 100\%,$$

որտեղ $V_{\text{սես}}$ -ը անվի տեսական $r_{qL, \text{ազ}} \cdot \omega_{qL}$ արագությունն է,

V_{hp} -ը անվի իրական $r_{ql} \cdot \omega_{\omega_0}$ արագությունն է,

r_{ql,ω_0} և ω_{ω_0} ՝ համապատասխանաբար անվի գլորման շառավիղը և անկյունային

արագությունն ազատ ռեժիմում,

r_{ql} և ω_{ω_0} ՝ համապատասխանաբար անվի գլորման շառավիղը և անկյունային

արագությունը (r_{ql} - համապատասխանում է փոխանցվող մոմենտին):

Տեղադրելով $V_{սեւ}$ և V_{hp} արժեքները՝ կունենանք

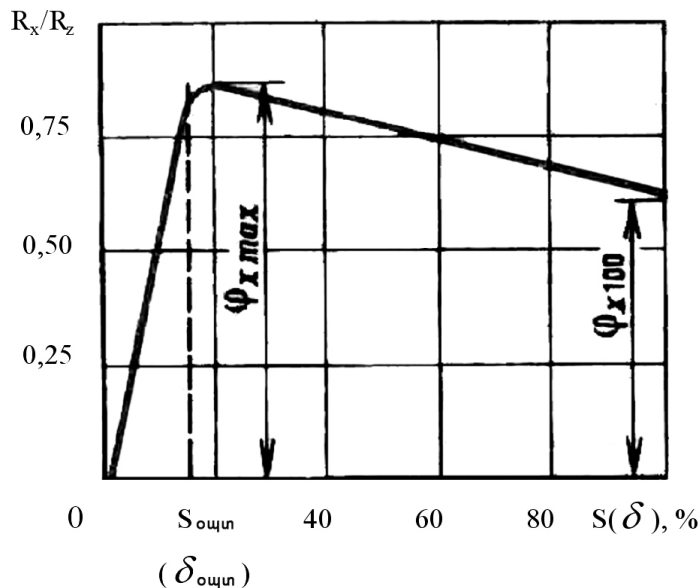
$$\delta = \left(I - \frac{r_{ql}}{r_{ql,\omega_0}} \right) \cdot 100\% : \quad (15)$$

Սահի գործակիցը կորոշվի հետևյալ արտահայտությամբ.

$$S = \left(\frac{V_{hp} - V_{սեւ}}{V_{սեւ}} \right) \cdot 100\% = \left(I - \frac{r_{ql,\omega_0}}{r_{ql}} \right) \cdot 100\% : \quad (16)$$

15-րդ և 16-րդ արտահայտություններից հետևում է, որ δ և S գործակիցներն անվի գլորման ազատ ռեժիմում ($R_x = 0$) ունեցած զրոյական արժեքից փոփոխվում են մինչև 100%, համապատասխանաբար անվի լրիվ տեղապտույտի և սահի (սայրաբում) դեպքում:

Բազմաթիվ փորձերով հաստատված է, որ R_x / R_z կախումը $\delta\%$ կամ $S\%$ գործակիցներից ընդհանուր դեպքում ունի նկ. 16-ում պատկերված գրաֆիկական տեսքը:



Նկ.16. Սահի δ (տեղապտույտի S) գործակցից R_x/R_z հարաբերության կախման գրաֆիկական տեսքը:

Նշանակենք $(R_x / R_z)_{max} = \varphi_x$ և այն անվանենք հենարանային մակերևույթի հետ անվի երկայնական կցման գործակից:

Չոր վիճակում ամուր ճանապարհային ծածկույթների վրա R_x / R_z հարաբերության առավելագույն $\varphi_{x_{max}}$ արժեքը ստացվում է 15-25% δ -ի կամ S -ի $\delta_{սպտ}$ կամ $S_{սպտ}$ արժեքների

դեպքում, ինչը 5-15% ավելի մեծ է δ -ի կամ S -ի արժեքներին համապատասխանող R_x / R_z հարաբերության φ_{x100} արժեքից:

Թաց վիճակում ամուր ճանապարհային ծածկույթների վրա R_x/R_z արժեքը ստացվում է 30-50 % δ -ի կամ S -ի դեպքում և այդ պայմաններում $\left(\frac{R_x}{R_z}\right)_{\max} : \left(\frac{R_x}{R_z}\right)_{100\%} = 1,3 - 1,5 :$

Ամուր ծածկույթների վրա անվի կցման և շփման գործակիցների փոփոխման բնույթը միևնույնն է, անվի հպատեղի առջևի մասում առկա է դադարի, իսկ հետևի մասում՝ սահքի շփում: Անվին փոփոխացվող մոմենտի փոփոխությունը հանգեցնում է անվի հպատեղի դադարի շփման և սահքի շփման մասերի մակերեսների հարաբերակցության փոփոխության: Բացի այդ, փոփոխվում են նաև սահքի արագությունները: Սա էլ հենց δ և S գործակիցներից անվի կցման գործակցի կախման պատճառն է:

Զեափոխվող ճանապարհների վրա կցման գործակիցն ունի բարդ բնույթ:

φ_x -ը կախված է բազմաթիվ շահագործական և կառուցվածքային գործոններից: φ_x -ը որոշվում է փորձնական եղանակով, հիմնականում անվի 100% սահքի դեպքում արգելակային ռեժիմում, այսինքն՝ լրիվ արգելակված (բացարձակ շպտովող) անվի քարշակման միջոցով:

φ_x -ը առավելագույն արժեքները ունի ամուր, չոր և մաքուր բետոնե, ասֆալտբետոնե ծածկույթներով ճանապարհների վրա՝ 0,7-0,8, իսկ որոշ դողերի համար՝ 1,0-1,1:

φ_x -ը նվազագույն արժեքները ունի սաղցակալած և ձյունապատ ճանապարհների վրա 0°C մոտ ջերմաստիճանների դեպքում՝ 0,05-0,15: Ջերմաստիճանի նվազեցումն այդպիսի ճանապարհների վրա հանգեցնում է φ_x արժեքի մեծացման:

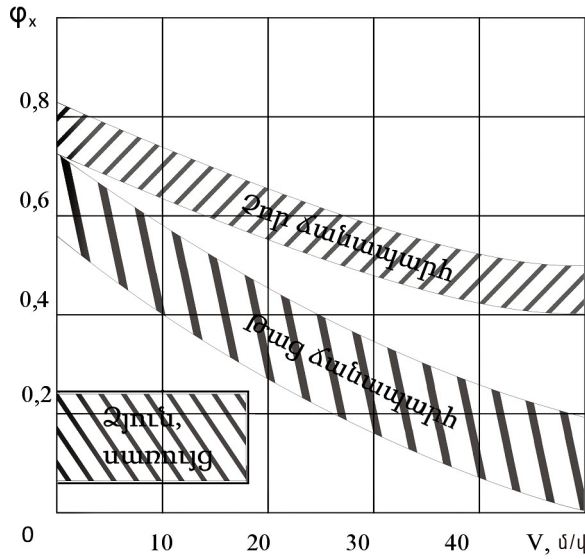
Թաց և ցեխոտ ճանապարհների վրա φ_x -ի արժեքը 1,2-2,0 անգամ փոքրանում է:

φ_x -ը զգալիորեն կախված է ճանապարհային ծածկույթի խորդուրդությունից, որը որոշվում է ծածկույթի ընդհանուր մակերևույթի նկատմամբ անհարթությունների բարձրությամբ և ձևով:

Տարբեր ծածկույթների համար կան համապատասխան խորդուրդությունների բարձրություններ: Ընդհանրապես օպտիմալ հանդիսանում են ~ 2մմ բարձրությամբ և գագաթում $70 - 120^{\circ}$ թեքության անկյուններ ունեցող անհարթությունները: Շարժման ընթացքում անիվները հարթեցնում են ճանապարհի մակերևույթը (տեղի է ունենում ճանապարհի մաշում), որի հետևանքով անհարթությունների բարձրությունները փոքրանում են, իսկ դրանց գագաթներում թեքությունները մեծանում են (անհարթությունների կլորացում, ողորկացում): Ճանապարհի մակերևույթի մաշը հանգեցնում է φ_x արժեքի զգալի փոքրացման: Այս պատճառով ճանապարհները պարբերաբար ենթարկում են հատուկ մակերևութային մշակման:

φ_x -ը խիստ կախված է անվի շարժման V արագությունից (նկ.17): Արագության աճը հանգեցնում է φ_x -ի արժեքի կտրուկ նվազեցման անբավարար խորդուրդություններով թաց և ցեխոտված ճանապարհների վրա:

Նկ.17-ից երևում է, որ բլոկավորված (չպտտվող) անվի կցման գործակցի կախումն արագությունից առավել զգալի է քաց ճանապարհների վրա:



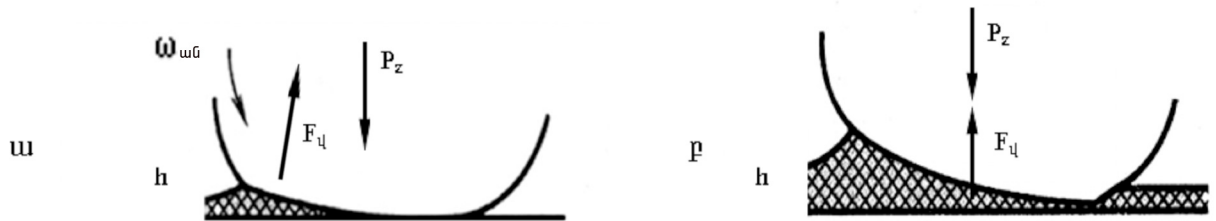
Նկ.17.Տարբեր ճանապարհային պայմաններում ավտոմոբիլի շարժման V_w արագությունից անվի երկայնական կցման Φ_x գործակցի կախման գրաֆիկական տեսքը:

Թաց ճանապարհներով շարժման ընթացքում անվի և ճանապարհի միջև հապատեղի առջևի մասից սկսած՝ որոշ մակերեսի վրա առաջանում է հիդրոդինամիկ ճնշում, ինչը բարձրացնում է անիվը և այդ մասում փոքրացնում կցման φ_x գործակիցը: Որքան մեծ է անվի շարժման V արագությունը, այնքան մեծ է անվի հապատեղի մակերեսը, որի վրա ազդում է հիդրոդինամիկ ճնշումը, հետևաբար նաև φ_x -ի արժեքի փոքրացումը:

Հավասար պայմաններում անվի պահպանաշերտի տարբերի մաշը թաց ճանապարհների վրա հանգեցնում է φ_x -ի փոքրացման, որովհետև դժվարանում է հեղուկի (ջրի) ազատ ելքը անվի հպման մակերևույթից:

Դողի պահպանաշերտի նախշի լրիվ մաշի դեպքում, թաց ճանապարհների վրա դրանց անբավարար խորդուրդությունների պայմաններում, φ_x -ը կարող է նվազել մինչև 0,20 - 0,25: Այս պատճառով ճանապարհային երթևեկության կանոններով արգելվում է ավտոտրանսպորտային միջոցների շահագործումը պահպանաշերտի նախշի թույլատրելիից պակաս մնացորդային փաստացի խորության պայմաններում: Այդ մեծությունը նորմավորված է. բեռնատար ավտոմոբիլներ – 1մմ, ավտոբուսներ – 2մմ, մարդատար – 1,6մմ:

Թաց, հարթ ճանապարհներով անվի շարժման դեպքում անվի առջևի մասում գոյանում է «ջրի սեպ», առկա է մասնակի հպում (նկ.18.ա), իսկ բարձր արագությունների դեպքում հիդրոդինամիկ ճնշումը տարածվում է հապատեղի ողջ մակերևույթի վրա, և ջրի թաղանթը լրիվ բաժանում է դողի ճանապարհի մակերևույթից (նկ.18.բ): Այս երևույթը կոչվում է դողի ջրասահասավառնում: Նման պայմաններում գործնականորեն դողը ի վիճակի չէ կրել երկայնական և լայնական ուժեր, հետևաբար անիվը դառնում է չղեկավարվող:



Նկ.18. Անվի և թաց ճանապարհի փոխազդեցության սխեման.

ա - առկա է դրոյի և ճանապարհի մակերևույթի մասնակի հպում, թացակայում է, ω_w - անվի անկյունային արագությունն է, P_z -նորմալ ուժն է, F_q -ի հիդրոդինամիկ վերամբարձ ուժն է, h -ը ջրի շերտի (թաղանթի) հաստությունն է:

Դողի ներքին օդի ճնշման մեծացումը չոր վիճակում ամուր ճանապարհային ծածկույթների վրա հանգեցնում է φ_x -ի արժեքի փոքրացման, իսկ թաց վիճակում նման ճանապարհների վրա՝ φ_x -ի արժեքի որոշ աճի: Այս երևույթը հիմնականում բացատրվում է ռետինի շփման գործակցի նվազեցմամբ, ինչը կապված է հպատեղում տեսակարար ճնշման ավելացման հետ: Իսկ թաց վիճակում գտնվող ամուր ճանապարհային ծածկույթների դեպքում կարող է նկատվել հակառակ երևույթը:

Դողի կառուցվածքային առանձնահատկություններից.

- տրամագծի մեծացումը ամուր ծածկույթով ճանապարհների վրա առաջացնում է φ_x -ի արժեքի աննշան աճ,

- պահպանաշերտի նախշի ազդեցությունը գնահատվում է հազեվածության գործակցով, ինչը ներկայացնում է հպատեղում առկա դրոյի ելուստների գումարային մակերեսի հարաբերությունը հպատեղի ընդհանուր մակերեսին: Փորձնականորեն ապացուցված է, որ այդ գործակցի մեծացումն ամուր, չոր ճանապարհների վրա հանգեցնում է φ_x -ի արժեքի որոշ աճի: Ամուր ծածկույթները թաց վիճակում անվի հետ ապահովում են φ_x -ի մեծ արժեք, եթե դրոյերի պահպանաշերտի նախշն ապահովում է ջրահեռացման համեմատական լավ պայմաններ:

1.4.Ավտոմոբիլային անվի շարժումը կողատարքով

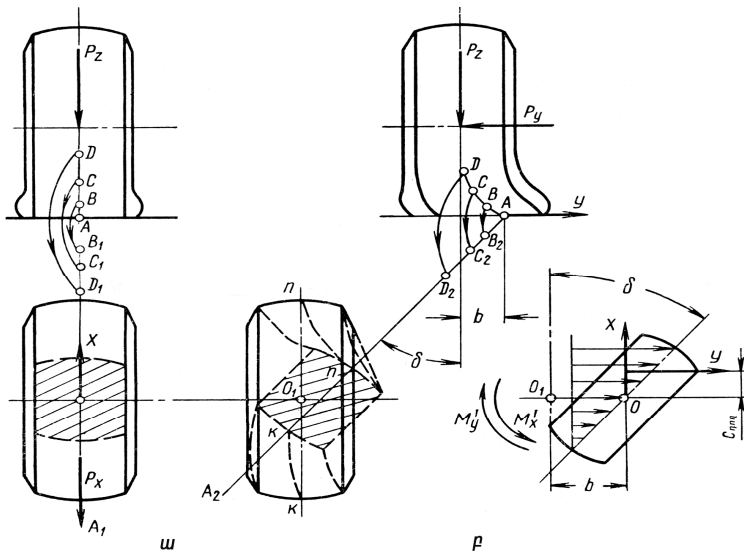
Կողային էլաստիկությամբ օժտված դրոյեր պարունակող անիվներով կահավորված ավտոմոբիլը ճանապարհի երթևեկելի մասի կորացումների, լայնական թեքությունների, անհարթությունների, աջակողմյան ու ձախակողմյան անիվների կցման և գլորման դիմադրության գործակիցների տարբերության, կողային քամու և այլ արտաքին, ինչպես նաև մի շարք այլ շահագործական գործոնների և անվադոյի կառուցվածքային ու տեխնոլոգիական առանձնահատկությունների հետևանքով ենթարկվում է կողատարքի: Այսինքն՝ առաջանում է անիվների հետագծի շեղում ավտոմոբիլի առանցքի նկատմամբ առաջադրված ուղղությունից:

Չնայած կողատարքի գոյացման անհրաժեշտ պայմանը կողային P_y ուժի առկայությունն է՝ պեսք է նշել, որ կողատարքի երևույթը բնորոշ է միայն կողային ձկունությամբ օժտված դրոյերով կահավորված անիվներին: Կոշտ անիվներն, անկախ կողային ուժի առկայությունից, մինչ կցման պայմանի խզում շարունակում են գլորվել առաջադրված ուղղությամբ, իսկ նշված պայմանի

խախտումն անմիջականորեն առաջացնում է անվի համընթաց շարժման կայունության կորուստ՝ կողասահք:

Նորմալ P_z ուժով բեռնավորված գլորվող անվի վրա երկայնական P_x ուժի ազդեցության դեպքում դողի B կետը հենարանին հպվում է B_1 , իսկ C կետը՝ C_1 կետում: Կողային P_y ուժի ազդեցությամբ էլաստիկ դողով անվի համաչափության միջին հարթությունը ճկվում է և անվի O կենտրոնի նկատմամբ տեղաշարժվում ե չափով (նկ.19): Դրա հետևանքով անիվը սկսում է գլորվել AA_1 ուղղությամբ, ինչն անվի պտտման հարթության անփոփոխ ուղղության հետ կազմում է δ անկյուն: Հենց այս երևույթն էլ կոչվում է անվի կողատարքի երևույթ, իսկ δ անկյունը՝ անվի կողատարքի անկյուն: Նման պայմաններում անվի հպատեղի առջևի մասում (kk հատված) մոտենում են լայնական ուղղությամբ քիչ, քան հետևի մասում (ոռ հատված) ձևափոխված դողի տարրեր, և տարրական լայնական հակագրումների էպյուրը ստանում է եռանկյունաձևին մոտ տեսք:

Տարրական լայնական հակագրումների R_y հավասարազորը թեև ունի P_y կողային ուժին հավասար արժեք, սակայն ազդում է հպատեղի կենտրոնից $c_{\text{որ}}$ չափով դեպի հետ շեղմամբ: Կողատարքի հետևանքով անվի O կենտրոնի O_1 պրոեկցիան հենարանի հարթության վրա չի համընկնում հպատեղի O_2 կենտրոնի հետ: R_x և R_y հակագրումները համապատասխանաբար ստեղծում են $M_x = b \cdot R_x$ և $M_y = c_{\text{որ}} R_y$ մոմենտներ, որոնք ձգտում են շրջել անիվը և կոչվում են երկայնական ու լայնական կայունացնող մոմենտներ:



Նկ.19. Կողատարքով անվի գլորման սխեմա:

Հաստատված է, որ P_y փոքր արժեքներն առաջացնում են մոտավորապես ուղիղ համեմատական կողատարքի δ անկյուններ (A_1, A_2, A_3 կետեր նկ.20-ում): P_y արժեքի հետագա ավելացումը հանգեցնում է դողի մասնակի սահման կողային ուղղությամբ և գծային կախման խախտման (նկ.20, A_1B_1, A_2B_2, A_3B_3): Եթե P_y մեծությունը ստանում է կցման ուժի արժեք, վրա է

հասնում դողի լրիվ սահքը (B_1C_1, B_2C_2, B_3C_3): Որքան փոքր է φ_y կցման գործակիցը, այնպան փոքր P_y -ի արժեքների դեպքում սկսում է դողի սահքը կողային ուղղությամբ:

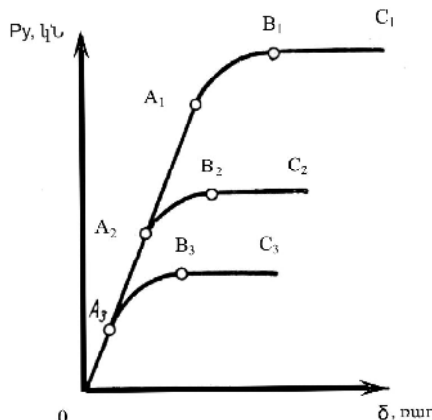
Համաձայն նկ.20-ում պատկերված $P_y = f(\delta)$ կախման՝ φ_y արժեքը 1-ին կորի դեպքում մոտ երեք, իսկ 2-րդ կորի դեպքում երկու անգամ ավելին է, քան 3-րդ կորի դեպքում:

Կորերի սկզբնական հատվածների ($\delta < 4...5^\circ$) համար

$$\delta = k_y P_y \text{ կամ } P_y / \delta = k_y,$$

որտեղ k_y -ն կողատարքի դիմադրության գործակիցն է:

Որոշ հետազոտողներ կողատարքի դիմադրության գործակից անվանումը տարածում են $P_y = f(\delta)$ կախման միայն ուղղագիծ հատվածի վրա, որտեղ $k_y = const$, սակայն փորձնական տվյալների մաթեմատիկական մշակման համար առավել հարմար է այդ հասկացությունը տարածել դիտարկվող կախման ամբողջ ընդգրկույթի վրա:



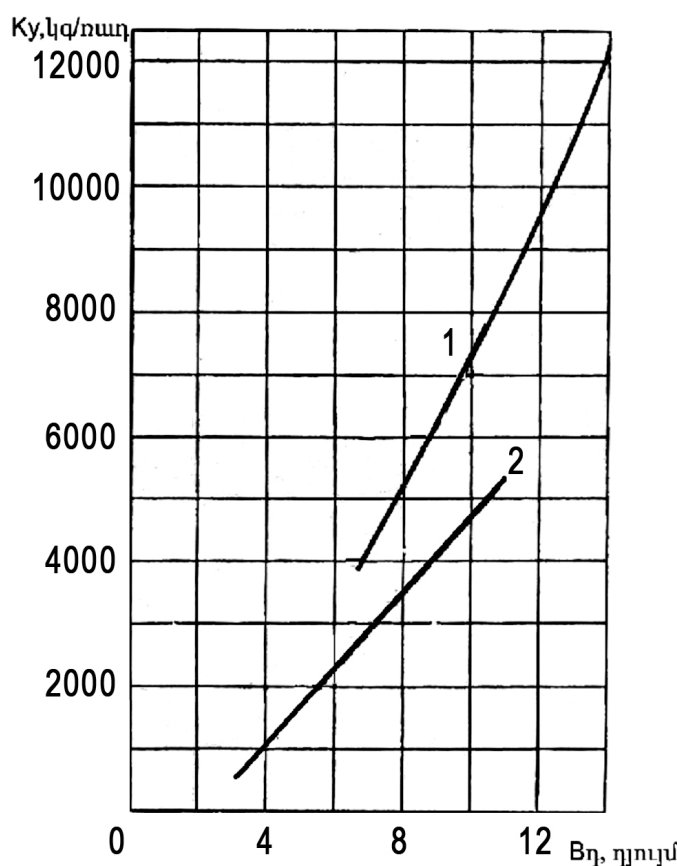
Նկ.20. Լայնական կցման φ_y տարրեր գործակիցների դեպքում կողային P_y ուժից անվի կողատարքի δ անլյան կախման գրաֆիկական տեսքը:

Կողատարքի դիմադրության k_y գործակիցը կախված է բազմաթիվ գործոններից, որոնցից հիմնականներն են՝ անվի չափերն ու կառուցվածքը, դողում օդի ճնշումը, անվի վրա գործող ուժերը, շարժման արագությունը, ճանապարհային ծածկույթի տիպն ու վիճակը, անվի կենտրոնի շարժման հետագծի ձևը՝ ուղղագիծ, կորագիծ (կորություն և դրա փոփոխություն ժամանակի կամ անցած ճանապարհի ընթացքում), անվի վրա գործող ուժերի կիրառման բնույթը և փոփոխման արագությունը:

Բացի այդ, կողատարքի դիմադրության գործակիցը կախված է դրա որոշման մեթոդիկայից: Վազքի թմբկագլամուկ ստենդների վրա կողատարքի դիմադրության գործակի արժեքը պայմանավորվում է փորձարկվող դողի և թմբուկի չափերի հարաբերակցությամբ: Միևնույն դողի համար միատեսակ շահագործական պայմաններում հարք մակերևույթի և գլանային մակերևույթով թմբուկի վրա փորձարկելիս կողատարքի դիմադրության գործակիցը ստանում է տարբեր արժեքներ:

Անվի չափերը բնութագրվում են դողի պրոֆիլի բարձրությամբ, լայնությամբ, արտաքին տրամագծով, անվահեցի լայնությամբ և նստեցումային մասի տրամագծով: Առավել ազդեցություն ունեն դողի պրոֆիլի չափերը:

Քանի որ դողի պրոֆիլի բարձրությունն ու լայնությունը սովորաբար փոխկապակցված են, և միևնույն տիպի դողերի համար դրանց հարաբերությունը փոփոխվում է սահմանափակ տիրույթում, ապա, որպես հիմնական՝ կարելի է ընդունել դրանցից որևէ մեկը, այնուհետև լրացուցիչ դիտարկել այդ չափերի հարաբերակցության փոփոխության ազդեցությունը: Համար է ընդունել, որպես հիմնական պարամետր՝ դողի պրոֆիլի B_y լայնությունը, քանի որ այն հանդիսանում է ստանդարտներով նշվող դողի հիմնական չափ: Ի դեպ, դողի պրոֆիլի լայնությունն անվի բոլոր հիմնական չափերի թվում ունի փոփոխակման առավել քանակ: Նկ.21-ում բերված են կողատարքի դիմադրության K_y գործակցի գրաֆիկական արժեքները, որոնք ստացվել են տարբեր պրոֆիլի լայնության 100-ից ավելի դողերի համար տարբեր ճանապարհների և հարք մակերևույթով կամ թմբուկային ստենդների վրա բազմաթիվ հետազոտողների կողմից, սկսած 1930թ.-ից, զանազան մեթոդներով անցկացված փորձարկումների արդյունքում:



Նկ.21. Դողի պրոֆիլի B_y լայնությունից անվի կողատարքի դիմադրության K_y գործակցի կախման գրաֆիկական տեսքը.

1-բեռնատար ավտոմոբիլների դողեր, 2-բերք մարդատար ավտոմոբիլների դողեր:

Պրոֆիլի միևնույն լայնության B_y չափի դեպքում բեռնատար ավտոմոբիլների կողատարքի դիմադրության K_y գործակիցը զգալիորեն ավելի է, քան մարդատարներինը և, բացի այդ, B_y

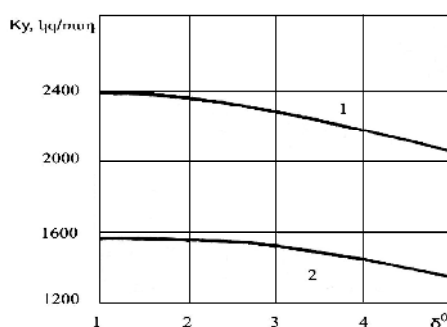
արժեքի ավելացմանն ավելի կտրուկ է արձագանքում: Նշված առանձնահատկությունները բացատրվում են մարդատարների համեմատ բեռնատար դողերի համար նախատեսված ներքին օդի ճնշման և նորմալ բեռնվածքի ավելի բարձր արժեքներով, ինչը պայմանավորված է դրանց հենքի (կորդ) շերտերի առավել քանակով: Բացի այդ, բեռնատար դողերն ունեն ավելի կոշտ դողածածկման շերտ (բրեկեր):

Նկ.21.-ում պատկերված մոտարկող 1 և 2 գրաֆիկական պատկերները ստացվել են փորձնական կետերի զգալի ցրվածքի պայմաններում, ինչը բացատրվում է ինչպես ցանկացած երկրի միևնույն ու տարբեր գործարաններում, այնպես էլ այլ երկրների ձեռնարկություններում տարբեր ժամանակաշրջաններում դողերի պատրաստման օգտագործվող տեխնոլոգիաներով: Դողի կողատարքի χ_y դիմադրության գործակիցը կախված է նաև դրա օգտագործման, այսինքն՝ պահպանաշերտի մաշվածության աստիճանից: Այլ հավասար պայմաններում հարթ հենարանային մակերևույթի վրա փորձարկումների արդյունքում ստացվում են χ_y ավելի մեծ արժեքներ, քան ուսուցիկ թմրուկային ստենդների վրա: Այդ արժեքների տարբերության վրա զլիսավորապես ազդում է փորձարկվող դողի և թմրուկի տրամագծերի հարաբերակցությունը:

Ավտոմոբիլի կայունության և կառավարելիության տեսությունում հաճախ օգտագործվում է ոչ թե χ_y բացարձակ, այլ հարաբերական $\xi = \chi_y / G_s$ (G_s - անվի նորմալ բեռնվածք) գործակից, որի արժեքը կախված չէ պրոֆիլի B , լայնության արժեքից և մարդատար ու բեռնատար դողերի մեծամասնության համար կազմում է 4...7:

Հաստատված է, որ անվահեցի տրամագիծն էապես չի ազդում χ_y արժեքի վրա, իսկ դրա լայնության ազդեցության վերաբերյալ հիմնավորված տեսակետ ծնավորված չէ:

Կողատարքի դիմադրության χ_y գործակիցը կախված է դողի պրոֆիլի ձևից, ինչը բնութագրվում է դրա H բարձրության և B_η բարձրության հարաբերությամբ և փոքրանում է H/B_η աճին զուգընթաց (նկ.22): Հատկանշական է, որ ավտոմոբիլային դողերի պրոֆիլի H/B_η հարաբերության նվազեցումը դրանց կառուցվածքային կատարելագործման հիմնական միտումն է, որի արդյունքում ստացվում է χ_y արժեքի մեծացում:



Նկ.22. H/B_η հարաբերությունից դողի կողատարքի դիմադրության K_y գործակիցի կախման գրաֆիկական տեսքը.
1- $H/B_\eta = 0,82$, 2- $H/B_\eta = 0,95$:

Դողի ներքին կառուցվածքը նույնական գալիքորեն ազդում է k_y արժեքի վրա: Վերջինս աճում է կորդի թելերի թերության անկյան նվազմանը զուգընթաց: Նման միտումն ավելի շեշտակի է նկատվում անվի նորմալ G_w թեռնվածքի բարձր և դողի ներքին օդի p_{w_0} ճնշման ցածր արժեքների դեպքում:

Կողատարքի դիմադրության k_y գործակիցն առանձնապես կախված է հենքարելի շառավղային դասավորության (R տիպի) դողերի կառուցվածքից՝ դողածածկանի գոտու առկայությունից, կառուցվածքից (շերտերի քանակ, թելերի խտություն) և նյութից:

Դողի պահպանաշերտի մաշվածության աստիճանի ավելացումը (բարձրության նվազումը) հանգեցնում է կողատարքի դիմադրության k_y գործակցի արժեքի որոշ աճի և կայունացման:

Ներքին օդի ճնշումը դողի կողատարքի դիմադրության k_y գործակցի վրա առավել էականորեն ազդող գործոն է: Քանի որ շահագործական պայմաններում այս գործոնը հեշտությամբ կարող է փոփոխվել հայտնի սահմաններում, ուստի կարող է k_y արժեքի վրա ունենալ ցանկալի ազդեցություն:

Դողի ներքին օդի ճնշման ավելացումը սկզբնական մասում մեծ մասամբ հանգեցնում է k_y արժեքի մեծացման և այն հասցնում առավելագույն արժեքի, իսկ այդ պրոցեսի շարունակումը՝ k_y -ի փոքրացման:

Հենքարելի անկյունագծային դասավորության դողերի k_y առավելագույն արժեքները նոմինալ նորմալ թեռնվածքի դեպքում ստացվում են գործարանային երաշխավորվող ներքին օդի ճնշման արժեքներն զգալի գերազանցելու դեպքում: Սակայն նորմալ թեռնվածքի զգալի նվազեցումը հանգեցնում է k_y առավելագույն արժեքի շեղման դեպի դողի ներքին օդի ճնշման շահագործական տիրույթի արժեքներ:

Լայն պրոֆիլի դողերի k_y արժեքը գործնականորեն կախված չէ ներքին օդի ճնշումից, իսկ շառավղային դողերի ներքին օդի ճնշման ավելացումը հանգեցնում է k_y -ի նվազման:

Հաստատված է, որ ավտոմոբիլային դողերի կողատարքի դիմադրության k_y գործակիցը, լնողիանուր առմամբ, դողի օդի p_w ճնշումից ունի ոչ գծային, իսկ վերջինս արտադրող գործարանի երաշխավորված արժեքների աննշան փոփոխությունների միջակայքում՝ գծային կախում, ինչը մոտարկվում է հետևյալ փորձարարական արտահայտությամբ.

$$k_y = k_i(p_w + 1),$$

որտեղ k_i -ն դողի միայն չափերից կախված գործակիցն է:

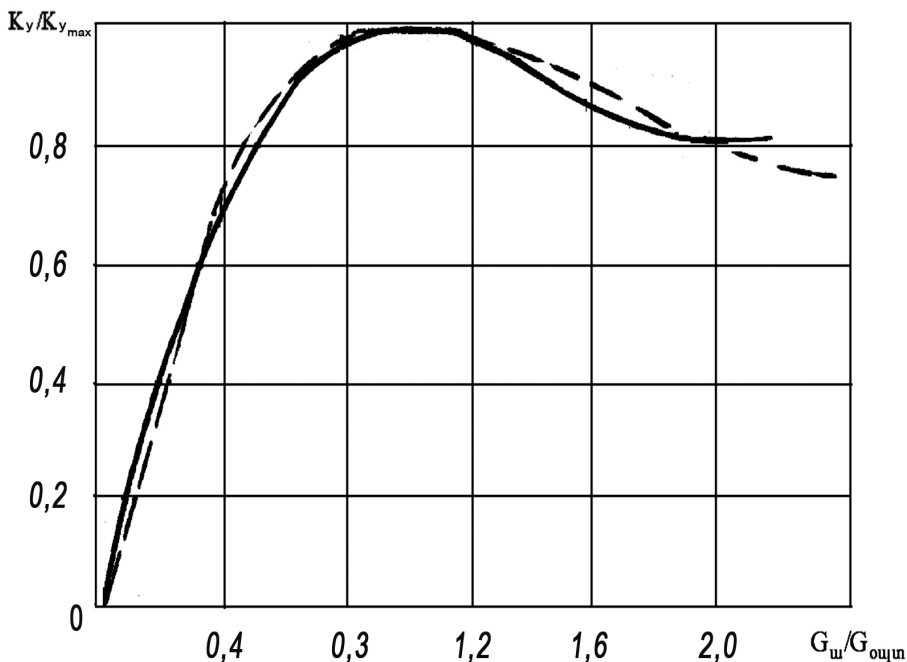
Անվի վրա գործող ուժերն էապես ազդում են դողի կողատարքի k_y գործակցի վրա:

Առավել մանրամասն փորձնականորեն ուսումնասիրված է նորմալ G_w թեռնվածքի ազդեցությունը: Հաստատված է, որ G_w զրոյականից մինչև որոշակի G_{oupt} օպտիմալ արժեք

սահմաններում ավելացումը հանգեցնում է k_y -ի աճի մինչև առավելագույն արժեք, իսկ G_w հետագա մեծացումը՝ k_y փորբացման (նկ.23): Հաստատված է, որ քննարկվող կախման կորը $0 \leq G_w \leq G_{oupt}$ միջակայքում ունի ավելի մեծ կորություն, քան $G_w > G_{oupt}$ հատվածում:

Անվի G_w նորմալ բեռնվածքի փոփոխության $0 \leq G_w \leq 2G_{oupt}$ սահմաններում փորձնականորեն ստացված տվյալներն առավել ճշգրտորեն մոտարկվում են հետևյալ արտահայտությամբ.

$$\frac{k_y}{k_{y_{\max}}} = 2,4 \frac{G_w}{G_{oupt}} - 1,8 \left(\frac{G_w}{G_{oupt}} \right)^2 + 0,4 \left(\frac{G_w}{G_{oupt}} \right)^3 :$$



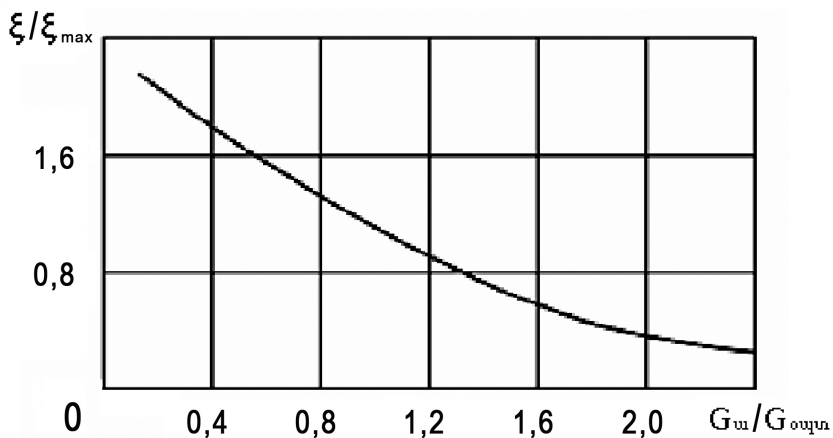
Նկ.23. Տեսակարար G_w / G_{oupt} նորմալ ուժից անվի կողատարքի տեսակարար $K_y / K_{y_{\max}}$ դիմադրության գործակցի կախման գրաֆիկական տեսքը.
1-հաշվարկային կոր, 2-փորձնական միջինացված տվյալների կոր:

Փորձնականորեն հաստատված է, որ տարբեր դողերի կողատարքի տեսակարար $\xi = k_y / G_w$ դիմադրության գործակիցն անվի G_w նորմալ բեռնվածքի աճին զուգընթաց նվազում է, ընդ որում՝ այդ միտումը, դրոյի կողատարքի δ անկյան ավելացումից կախված, դառնում է ավելի քիչ շոշափելիք:

Միաժամանակ հաստատված է, որ տարբեր երկրների բազմաթիվ հետազոտողների կողմից զանազան դողերի փորձնականորեն ստացված տվյալների լավագույն մոտարկման համար կիրառելի է հետևյալ արտահայտությունը.

$$\xi / \xi_{oupt} = 2,4 - 1,8 G_w / G_{oupt} + 0,4 (G_w / G_{oupt})^2,$$

որի գրաֆիկական տեսքը պատկերված է նկ.24-ում:



Նկ.24. $\xi/\xi_{max} = f(G_w/G_{owyn})$ կախման գրաֆիկական տեսքը:

Կայունության և կառավարելիության տեսությունում կարևոր նշանակություն ունի ավտոմոբիլի առանցքների վրա գործող հաստատուն նորմալ բեռնվածքների տարբեր բաշխման դեպքում անիվների կողատարքի դիմադրության գումարային գործակցի փոփոխությունը:

Նկ.20-ում պատկերված $\delta = f(P_y)$ կախման գրաֆիկական տեսքը պայմանավորված է անվի և հենարանային մակերևույթի լայնական ուղղությամբ կցման ϕ_y գործակցի միջին արժեքով: Վերջինս իր հերթին ընդհանուր դեպքում տարբերվում է անվի երկայնական ուղղությամբ կցման ϕ_x գործակցից: ϕ_y -ի արժեքի վրա ազդում են հենարանային մակերևույթի տեսակն ու վիճակը (չոր, թաց), անվի վրա ազդող նորմալ բեռնվածքը, շարժման արագությունը, դողի ներքին օդի ճնշումը, կառուցվածքը: Առավել քիչ է ուսումնասիրված երկայնական (քարշիչ, արգելակող) ուժերի ազդեցությունը $\delta = f(P_y)$ կախման վրա: Փորձնական տվյալների մշակման արդյունքում երկայնական ուժերի ազդեցությամբ անվի կողատարքի դիմադրության գործակցի փոփոխության հաշվառման համար առաջարկված են մի շարք արտահայտություններ, որոնցից առավել բարդ տեսք ունեցողը հետևյալն է.

$$\frac{k_{y_{P_x \neq 0}}}{k_{y_{P_x = 0}}} = \sqrt{1 - \left(\frac{P_y}{G_w \phi} \right)^{\lambda_1 + \lambda_2 \delta}},$$

որտեղ P_x -ն և P_y -ը՝ համապատասխանաբար անվի վրա գործող երկայնական և լայնական ուժերն են,

G_w -ն՝ անվի վրա գործող նորմալ բեռնվածքը,

λ_1 և λ_2 - անվի կառուցվածքից կախված գործակիցներ են,

δ -ն՝ անվի կողատարքի անկյունը:

Փորձնականորեն հաստատված է նաև k_y -ի կախումը անվի վրա գործող նորմալ և կողային ուժերի ազդման բնույթից (ստատիկական, դինամիկական), և ամենին ուսումնասիրված չէ փոփոխական երկայնական ուժերի ազդեցությունը:

Անվի պտտման կենտրոնական հարթության թեքումը ուղղաձիգ հարթության նկատմամբ (բացք) նոյնապես էականորեն ազդում է գլորման դեպքում առաջացող կողային ուժերի վրա: Հաստատված է, որ լնդիանուր դեպքում գումարային կողային ուժի հաշվման համար հնարավոր է օգտագործել հետևյալ արտահայտությունը:

$$P_{\text{լող}} = k_y \delta + k_\gamma \gamma,$$

որտեղ γ -ն անվի բացքի անկյունն է,

k_y -ն դողի կառուցվածքից, ներքին օդի ճնշումից, անվի վրա նորմալ բեռնվածքից, հենարանային մակերևույթի հատկանիշներից կախված համեմատականության գործակիցն է, ինչը կոչվում է բացքի կողային ուժի գործակից:

Հաստատված է, որ k_y -ը գործնականորեն կախված չէ անվի շարժման արագությունից:

Ուսումնասիրված չէ k_y գործակցի կախումն անվի վրա գործող երկայնական ուժերից:

Անվի վրա գործող նորմալ բեռնվածքի, դողի ներքին օդի ճնշման արժեքի, հենարանային մակերևույթի տեսակի և վիճակի որոշակի համակցությունների դեպքում կողատարքի դիմադրության գործակցի վրա որոշ ազդեցություն է բողոքում շարժման արագությունը:

Ուղղաձիգ հարթության նկատմամբ անվի պտտման հարթության թեր դիրքավորումը (բացք) նույնապես առաջացնում է կողատարք:

Քանի որ անիվների կողատարքը գլխավորապես առաջանում է ավտոմոբիլի կորագիծ շարժման (դարձ) դեպքում, ապա հետաքրքրություն են ներկայացնում նաև հենց այդպիսի պայմաններում ուսումնասիրությունները, այսինքն՝ անվի շարժման հետագծի ազդեցության ուսումնասիրությունները:

1.5. Ավտոմոբիլային անիվների գլորման դիմադրության և կցման գործակիցների, ստատիկ ու գլորման շառավիղների փորձնական որոշման սարքավորումներ

Դողերի փորձարկմամբ գտնում են դրանց երկրաչափական և ուժային պարամետրերը, բնութագրերը ու գործակիցները, որոնք պայմանավորում են անվի և հենարանային մակերևույթի փոխազդեցությունը:

Լարորատոր պայմաններում փորձարկումները կատարվում են ստենդների վրա:

Իրական փորձարկումները կատարվում են ճանապարհների վրա դիմամոմետրական սայլակների կամ անմիջականորեն մեքենաների միջոցով:

Վերջին շրջանում լայն կիրառում է ստացել նաև դողերի մասշտաբային փորձարկումների պրակտիկան: Այս դեպքում մոդելների փորձարկման օրինաչափություններից իրական դողերին անցում կատարվում է մոդելների մասշտաբների և նմանության օրենքների համաձայն:

Դողերի նորմալ կոշտության որոշման համար օգտագործվող ստենդներն ունեն բեռնավորման մեխանիզմի և դեֆորմացիաների գրանցման համակարգ: Փորձարկումներն անց են կացվում բեռնավորումների և բեռնաթափումների պայմաններում դրոի ներքին օդի ճնշման տարրեր արժեքների դեպքում: Ստացված արդյունքների բավարար ստույգության ապահովման նպատակով փորձարկումները կրկնվում և միջինացվում են: Այդպիսի ստենդի օգնությամբ

ստացվում են դողերի կոնտակտի մակերեսները հենարանային մակերևույթի հետ և ստատիկ շառավիղները: Հպման մակերեսները որոշելու համար դողերը նախապես ներկվում են (օրինակ՝ տպագրական ներկով) և հենարանային մակերևույթի վրա, դողի տակ փոփոք է քուղք: Անվի բեռնավորման տարրեր արժեքների և դողի ներքին օղի ճնշման տարրեր մեծությունների դեպքում հաշվում են հպատեղի լրիվ եզրագծով կոնտուրային S_{\pm} և պահպանաշերտի նախշի ելուստների գումարային փաստացի S_{ϕ} մակերեսները: Տարրեր դողերի համեմատական գնահատման նպատակով օգտվում են դողերի պահպանաշերտի նախշի հագեցվածության գործակցից:

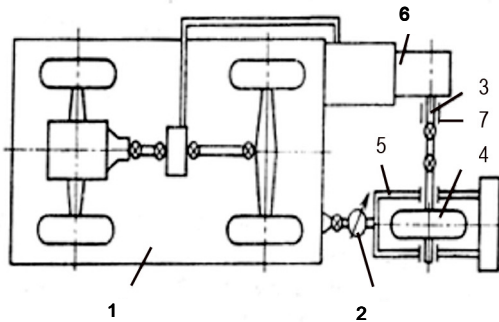
$$k_h = S_{\pm} / S_{\phi} :$$

Անշարժ դողի հպատեղում նորմալ և շոշափող լարումների բաշխման էպյուրների գրանցման համար օգտագործում են հատուկ չափիչ-փոխակերպիչներ, որոնք տեղադրվում են դողերի պահպանաշերտում կամ հենարանային հարթությունում:

Գլորվող անիվների դեպքում հպումային լարումները որոշվում են տենգողեղիստորների և պիեզոէլեկտրական կերպափոխչների միջոցով:

Դողերի հպատեղում պահպանաշերտի տարրերի սահրի ուսումնասիրությունը կատարվում է լուսանկարահանման եղանակով:

Անիվների գլորման շառավիղների, գլորման դիմադրության և կցման ուսումնասիրությունները կատարվում են լայն տարածում ստացած ուժաչափական սայլակների օգնությամբ, որոնցից մեկի սխեման բերված է նկ.25-ում:



Նկ.25.Դողերի փորձարկման ուժաչափական սայլակի սխեմա:

Քարշիչ ավտոմոբիլով 1 քարշակվում է սայլակը, որի շրջանակում 5 տեղակայված փորձարկվող անվի 4 բեռնավորումը կատարվում է կշռաչափված բեռներով:

Հատուկ շարժաբերի 6 միջոցով անվին կարող է փոխանցվել պտտող մոմենտ, ինչը ուժաչափական հարմարանքի 2 միջոցով հաղորդվող երկայնական ուժի գուգակցությամբ հնարավորություն է տալիս անիվը փորձարկել գլորման բոլոր ռեժիմներում՝ ապահովելով մոմենտի ցանկացած՝ գրոյականից մինչև անվի ու ճանապարհի միջև կցմամբ սահմանափակվող արժեքը:: Պտտող մոմենտը չափվում է տենգողեղիստրական լիսեղի վրա սոսնձված տենգողեղիստորների (տենգոտվիչների) 3 օգնությամբ: Դրանց ազդանշանը պտտվող լիսեղից վերցվում է հոսանքահանիչների 7 միջոցով և փոխանցվում մագնիսագրիչ կամ օսիլոգրաֆ (տատանագրիչ) հետագա մշակման համար:

Ինչպես նշվել է վերը, անվի գլորման շառավիղը $r_{q_l} = S/2\pi n$, որտեղ S -ն անվի անցած ճանապարհը, մ, n -ն անվի կատարած պտույտներն են այդ ճանապարհահատվածում:

Պտուտարքերի գրանցման համար օգտագործում են բազմախումային ընդհատիչներ, որոնք հնարավորություն են տալիս որոշելու ոչ միայն անվի ամբողջ թվով պտույտները, այլև մնացորդային պտտման անկյունը: Անցած ճանապարհի գրանցման համար օգտագործվողներից ամենատարածվածը «Ճանապարհ-արագություն-ժամանակ» հարմարանքն է: Հատուկ շափաբերված (ստուգաճշտված) «հիմնգերորդ» անիվը հոդակապով միացված է մեքենային, իսկ դրա առանցքը ճկուն մետաղաճոպանով միացվում է նշված հարմարանքին, ինչը գրանցում է անվի պտույտները, շարժման ժամանակը և հաշվում ճանապարհն ու շարժման արագությունը:

Եթե անիվն անցատված է շարժաբերից, ապա ուժաչափի P_η ցուցմունքը հանդիսանում է անվի գլորման դիմադրության P_{f_0} ուժը տարվող ռեժիմում: Այս դեպքում գլորման դիմադրության գործակիցը $f_0 = P_{f_0}/P_z$, որտեղ P_z -ն անվի վրա ընկած նորմալ բեռնավորումն է (հաշվի առած անվի սեփական կշիռը):

Եթե անվին փոխանցվում է ոլորող մոմենտ, և ուժաչափական հարմարանքով գրանցվող երկայնական ուժը ուղղված է անվի շարժման կողմ, ապա կարող ենք որոշել գլորման դիմադրության գործակիցը տանող ռեժիմում՝

$$f = f_0 + \left((M_{\eta_l}/r'_{q_l}) - P_\eta \right) / P_z,$$

որտեղ r'_{q_l} -ը գլորման շառավիղն է ազատ ռեժիմում (սահքի բացակայություն), որի որոշման համար անհրաժեշտ է դողի տանգենցիալ էլաստիկության λ գործակիցը: Այն, իր հերթին, որոշում են հետևյալ արտահայտությամբ.

$$\lambda = (r_{q_l i} - r_{q_l j}) / (M_{\eta_l i} - M_{\eta_l j}),$$

որտեղ i և j երկու տարբեր ռեժիմներ են ոլորող մոմենտի համապատասխանաբար $M_{\eta_l i}$, $M_{\eta_l j}$ արժեքների և, դրանց համապատասխան, անվի գլորման շառավիղների $r_{q_l i}$, $r_{q_l j}$ համար: Ընդ որում, մոմենտների այդ արժեքները չեն գերազանցում ($0,4...0,6$) $M_{\eta_l \max}$ (ոլորող մոմենտի առավելագույն արժեքի $40...60\%$), որովհետև այդ տիրույթում $r_{q_l} = f(M_{\eta_l})$ կախումը կրում է գծային բնույթ:

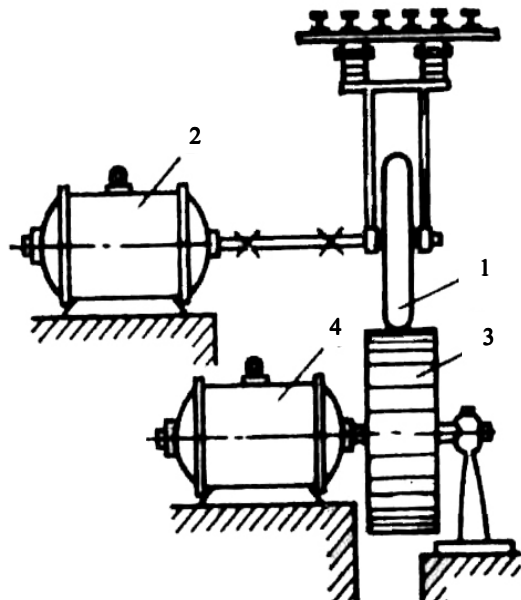
Այս փորձարկումները բույլ են տալիս որոշել անվի գլորման շառավղի կախումը պտտող մոմենտից և երկայնական հակագրումից, այսինքն՝ ստանալ նկ.10-ում բերված գրաֆիկական պատկերը:

Անվի կցման գործակցի որոշման համար աստիճանաբար փոքրացնում են մեքենայի շարժիչի պտտող մոմենտը, ընդհուա՝ մինչև շարժիչի լրիվ անցատումը տանող անիվներից: Անհրաժեշտության դեպքում ավտոմոբիլ-քարշակը արգելակում են: Սիամամանակ ավելացնում են փորձարկող անվի վրա գործող պտտող մոմենտը: Փորձարկումները և չափումները կատարում են մինչև անվի լրիվ տեղապտույտ: Կցման գործակիցը որոշում են հետևյալ արտահայտությամբ.

$\varphi = P_{\eta, \text{un}} / P_z$, որտեղ $P_{\eta, \text{un}}$ -ն անվի լրիվ տեղապտույտի (սահքի) դեպքում ուժաչափի ցուցմունքն է:

Փորձարկումների արդյունքում ստացված տվյալներով կառուցվում է նկ.16-ում պատկերված կախումը:

Անվի գլորման դիմադրության և կցման գործակիցները որոշում են նաև վազքի թմբկագլաններով ստենդների միջոցով (նկ.26) կամ պտտվող սկավառակով ստենդի միջոցով: Այս պայմաններում թմբկագլանը կամ սկավառակը, որի վրա գլորվում է փորձարկվող անիվը, ծառայում է որպես ճանապարհի նմանակիչ: Առաջին դեպքում էլեկտրաշարժիչը 2 պտտում է անիվը 1, որը հենվում է թմբկագլանի 3 վրա, իսկ արգելակային գեներատորը 4, համաձայն փորձարկումների ծրագրի, օպերատորի կողմից ստեղծում է անվի գլորման անհրաժեշտ դիմադրությունը: Այս եղանակով փորձարկումների թերություն են թմբկագլանի կորությամբ պայմանավորված իրական ճանապարհային պայմանների ոչ ճիշտ վերարտադրումը, հպատեղի երկարության փոքրացումը, ինչպես նաև մետաղական ծածկույթի անհամապատասխանությունն իրական ճանապարհային ծածկույթին:



Նկ.26.Անվի գլորման դիմադրության և կցման Փ գործակցի որոշման՝ վազքի թմբկագլաններով ստենդի սխեմա:

2.ճԱՆԱՊԱՐՀԱՅԻՆ ԾԱԾԿՈՒՅԹԻ ԿՑՍԱՆ ԵՎ ԱՄՐՈՒԹՅԱՆ ՀԱՏԿԱՆԻԾՆԵՐԸ

2.1.Ճանապարհային մակերևույթների (ծածկույթների) խորդուրորդությունները, դրանց տեսակները, գնահատումը և ազդեցությունը

Ճանապարհային ծածկույթների անհարթությունները կարելի է սոորաբաժանել հետևյալ տեսակների:

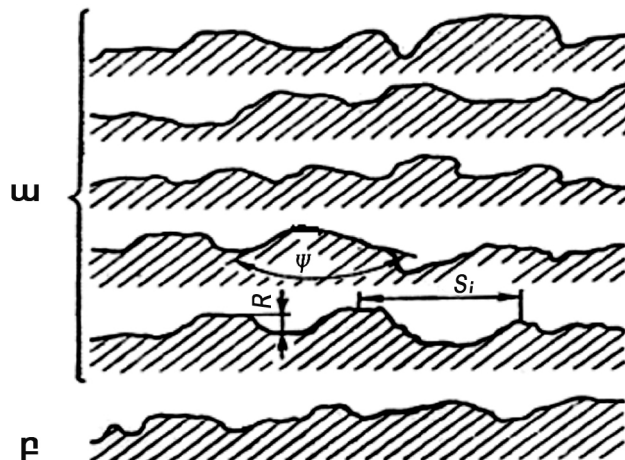
- մակրոանհարթություններ, որոնք ազդում են ավտոմոբիլի շարժման դիմամիկայի և շարժիչի աշխատանքի վրա,
- միկրոանհարթություններ, որոնք առաջացնում են տատանումներ ավտոմոբիլի կախումում և չեն ազդում շարժիչի աշխատանքի վրա,

- խորդուբորդություններ, որոնք համելիսանում են ճանապարհային ծածկույթի անհարթությունների ամբողջություն, ինչը չի առաջացնում կախոցի ցածրահաճախական տատանումներ, ավտոմոբիլի դինամիկայի և շարժիչի աշխատանքի փոփոխություն:

Խորդուբորդություններն իրենց հերթին բաժանվում են.

- մակրոխորդուբորդությունների՝ ավելի քան 2-3մմ երկարությամբ և 0,2-0,3մմ բարձրությամբ անհարթություններ, որոնք առաջանում են ասֆալտբետոննե ծածկույթների մաշի համար նախատեսված շերտերում կամ ցեմենտբետոննե ծածկույթները հատուկ մշակման ենթարկելու դեպքում քարային նյութերի օգտագործման արդյունքում (նկ.27,ա):

- միկրոխորդուբորդությունների՝ 2մմ-ից պակաս երկարության և 0,2մմ-ից փոքր բարձրության անհարթություններ: Որպես կանոն՝ այս խորդուբորդությունները պայմանավորված են մակրոխորդուբորդություններ առաջացնող նյութերի (խիճ) սեփական խորդուբորդություններով (նկ.27,բ):



Նկ.27. ճանապարհային ծածկույթի մակրոխորդուբորդության բնորոշ կտրվածքներ.
ա- մեկ տարի շահագործումից հետո, բ- 2 ամիս շահագործումից հետո:

Նկ.28-ում պատկերված է պրոֆիլագրիչով ստացված ճանապարհային հատվածի պրոֆիլոգիրը: Ճանապարհային ծածկույթների անհարթությունների քանակականը տրվում է հետևյալ մեծությունների որոշմամբ.

ա) Պրոֆիլի միջին թվաբանական շեղում.

$$R_{\text{պիզ}} = \frac{1}{n} \sum_{i=1}^n |h_i|, \quad (17)$$

Ծածկույթի մակրոանհարթությունների համար այս պարամետրը որոշվում է «ավագի բիծ» եղանակով (նկ. 36) հետևյալ արտահայտությամբ.

$$R_w = V / S, \quad (18)$$

որտեղ V -ն ավագի ծավալն է, սմ³,

$$S$$
 -ն ավագի բծի մակերեսն է, սմ². $S = \pi D_{\text{պիզ}}^2 / 4,$

$$D_{\text{պիզ}}$$
 -ն ավագի բծի միջին տրամագիծն է, սմ.:

Այս եղանակով $R_{\eta\eta}$ -ը որոշելիս որոշակի ծավալի 25 կամ 50սմ³ ավազը փոփում է ճանապարհային ծածկույթի վրա շրջանի ձևով և չափվում դրա միջին տրամագիծը: Օգտագործվում են 0,2մմ չափի ավազի հատիկներ: Հայտնի են ՄԱԴԻ-ի և Սոյզդորնի-ի պրոֆիլագրիչ սարքերը, որոնց աշխատանքի հիմքում ընկած է «ավազի բժի» եղանակը: Ավազի փոխարեն օգտագործվում են մետաղյա գնդիկներ, որոնք սահմանափակ մակերեսի վրա մազնիսացված վիճակում կրկնում են ճանապարհի անհարթությունները: Չափումները կատարվում են պատճենագրված մակերևույթների օգնությամբ (լաբորատոր պայմաններում):

բ) Անհարթությունների առավելագույն բարձրություն.

$$R_{max} = H_{max} + H_{min}: \quad (19)$$

գ) Անհարթությունների միջին քայլը գագաթներով.

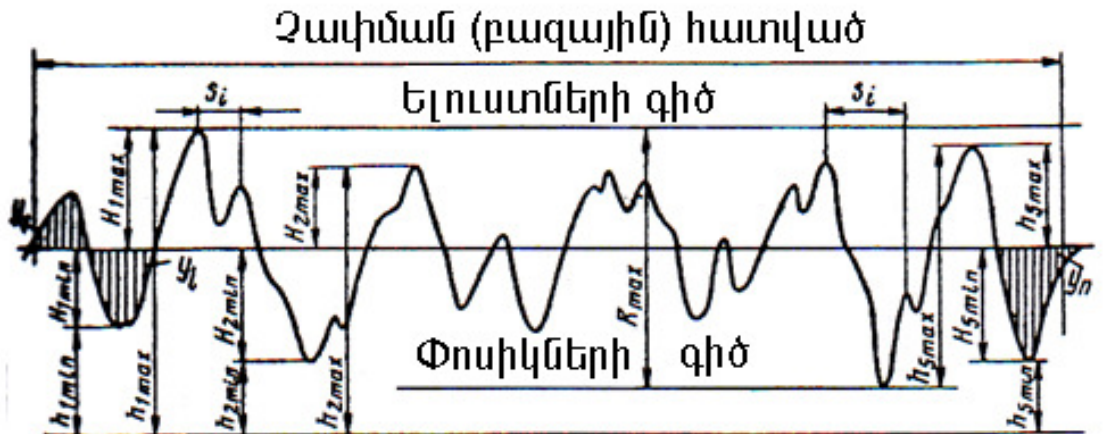
$$S_{\eta\eta} = \frac{1}{n} \sum_{i=1}^n S_i : \quad (20)$$

դ) Անհարթությունների բարձրության միջին թվաբանական արժեք.

$$(21)$$

որտեղ h_i -ն պրոֆիլի հատակից չափված ելուստների գագաթի և խորացումների հատակի մակարդակների տարբերությունն է:

ե) Անհարթությունների գագաթների միջին ψ անկյունը և կորութան r շառավիղը հանդիսանում են խորդուրդությունների լրացուցիչ բնութագրեր:



Նկ.28. ճանապարհային ծածկույթի մակերևույթի հատվածի պրոֆիլագիր:

Ճանապարհային ծածկույթի միկրոանհարթությունները որոշվում են անմիջապես ճանապարհների վրա կամ լաբորատոր պայմաններում ծածկույթների նմուշներով:

Ճանապարհային պայմաններում կիրառվում են դյուրակիր սարքեր, օրինակ՝ ՄԱԴԻ-ի ինդրուկցիոն կամ լազերային սարքերը: Կախված խճի չափերից՝ միկրոանհարթությունները չափվում են 2-5մմ երկարության վրա:

Ճանապարհների միկրոանհարթությունների ավելացումը հանգեցնում է դողերի մաշի աճի, իսկ մակրոանհարթությունների ավելացումը կարող է չազբել կամ անզամ նվազեցնել դողերի մաշը:

Ծանապարհային ծածկույթների անհարությունները պատրաստվում են դրդերի հետ դրանց կցման հատկանիշները բարձրացնելու, հետևաբար ավտոմոբիլների երթևեկության անվտանգության բարձրացման նպատակով:

Ավտոմոբիլների ստեղծած արտաքին աղմուկն առաջացնում են շարժիչը, տրանսմիսիան, բափքը և դրդերը: Մարդատար ավտոմոբիլների համար աղմուկի մակարդակը սահանված է 84 ԴԲ, իսկ բեռնատարների համար՝ 85-92 ԴԲ (կախված բեռնատարողությունից):

Դողերի առաջացրած աղմուկը պայմանավորված է դրանց օդի շրջահոսմամբ, հպումային մասով և դրա վիրացիայով (թրոռում): Դողը օդով լցված վիճակում նման է փրփած թմբուկի, որի ստեղծած աղմուկը պետք է գնահատել՝ հաշվի առնելով ճանապարհի առանձնահատկությունները: Աղմուկը զգալիորեն սյայմանավորված է դողի պահպանաշերտի նախշով և դրա մաշով:

Ծանապարհային ծածկույթների խորդուրդությունների ավելացումը հանգեցնում է տրանսպորտային աղմուկի մակարդակի լրացուցիչ բարձրացման: Ծանապարհային ծածկույթի խոնավացումը բարձրացնում է աղմուկի մակարդակը, ընդ որում՝ ավելի զգալիորեն հարթ մակերևույթների, քան խորդուրդություններով ծածկույթների վրա:

Անհարթ ծածկույթներով ճանապարհների տնտեսական արդյունավետությունը պայմանավորված է ավտոմոբիլների շարժման արագությունների մեծացման շնորհիվ տրանսպորտային ծախսերի կրճատմամբ, ՇՏՊ-ների քանակի ծանրության աստիճանի նվազեցմամբ և բնապահպանական գործուների՝ տրանսպորտային աղմուկի, շրջապատող օդի ապականման և ավտոմոբիլային ճանապարհներին հարող հողերի աղակալման աստիճանների պակասեցմամբ:

Ծանապարհային ծածկույթների մակրոխորդուրդությունները մեղմացնում են դողերի հպատեղում ջերմության գոյացման երևույթները, որոնք նվազեցնում են պահպանաշերտի ռետինի ֆիզիկամեխանիկական հատկությունները և հանգեցնում դողի և ծածկույթի միջև կցման գործակցի արժեքի փոքրացման: Այսինքն՝ այդպիսի ծածկույթները բնութագրվում են կցման գործակցի արժեքի կայունությամբ՝ անկախ դողի (ավտոմոբիլի) շարժման արագությունից:

Շրջակա օդի ջերմաստիճանի բարձրացման նկատմամբ խորդուրդը ճանապարհների կցման գործակցի արժեքը հարթ ծածկույթների համեմատ ավելի կայուն է: Սա բացարձում է բաց գույնի խճի համեմատ արևի ճառագայթների ավելի լավ կլանելու պատճառով սև խճի ունեցած $1 - 3^{\circ}\text{C}$ բարձր ջերմաստիճանի արդյունքում հարթ ծածկույթի խորդուրդությունների ձևավորմանը հաղորդած առավել կայունությամբ:

Զմունը օդի ջերմաստիճանի բացասական արժեքների դեպքում, եթե ճանապարհային ծածկույթները պատված չեն սառույցով, խոշոր խորդուրդությունները նպաստում են կցման գործակցի արժեքի մեծացմանը, իսկ փոքր խորդուրդությունները ունեն հակառակ ազդեցություն:

Բնականաբար, ձյունածածկ և սաղցապատ ծածկույթների մակերևույթների սեփական խորդուրդությունները չեն ազդում կցման գործակցի վրա: Սակայն դրանք որոշակիորեն ազդում են երթևեկի մասի ձևածածկի առաջացման և հեռացման վրա: Անվի գլորման դեպքում հպատեղում առաջացող ջերմության աղբյուր ծառայում է դողը: Այդ ջերմությունը ծախսվում է

հենարանային մակերևույթի տաքացման և ջրի գոլորշու խտացման երևույթների վրա մաքուր ծածկերի դեպքում կամ ձյան ու սառույցի հալման վրա:

Բլոկավորված անվի հպատեղում ավելի ջերմություն է անջատվում, քան պտտվող անվի հպատեղում, որի պատճառով հալչում է սառույցի ավելի հաստ շերտ: Անվի անցումից հետո հալած ջուրը կրկին սառչում է: Այս երևույթը կրկնվում է բազմաթիվ անգամներ՝ ճանապարհով անցնող ավտոմոբիլների քանակին համապատասխան: Ավտոմոբիլային ճանապարհների պատվածքում նախատեսվող մաշի շերտի հիմնական նշանակությունը ծածկույթի պահպանումն է ավտոմոբիլային անիվների անմիջական ազդեցությունից, բնակլիմայական գործոններից, ինչպես նաև բարձր կցման հատկանիշների ապահովումն է: Այս նպատակով պատրաստվող անհարթություններով մաշի շերտերը ստացվում են ասֆալտրետոններ կամ ցեմենտրետոններ ծածկույթների մակերևութային մշակմամբ, ինչպես նաև ասֆալտրետոններ ծածկույթների մեջ խճի ընկղմման եղանակով:

Ճանապարհային ծածկույթների խորդուրորդ մակերևույթների մաշն արտահայտվում է անհարթությունների մակրոխորդուրորդությունների բարձրությունների պակասեցմամբ և հղկմամբ:

Ավտոմոբիլային անիվների անցման պատճառով ճանապարհային ծածկույթների մակրոխորդուրորդությունները փոքրանում են երկու փուլով: Առաջինում՝ նոր պատրաստված ծածկույթների խորդուրորդություններն արագ նվազում են խճի հատիկների ընկղմման հետևանքով: Այս փուլի կարճատևության պատճառով հղկման երևույթները թույլ են արտահայտվում: Երկրորդ փուլում խճի ընկղմման երևույթների ինտենսիվությունն ընկնում, իսկ հետագայում լրիվ արժեքագրվում է (ընկղմման պրոցեսը դադարում է), իսկ ծածկույթի խորդուրորդությունների նվազման պատճառ սկսում է հանդես գալ դրանց հղկումը: Խճի բարձրացված մասերն անընդհատ մաշվում, ողորկանում և հավասարվում են: Այս փուլում կցման հատկանիշները պայմանավորվում են ճանապարհային ծածկույթների միկրոխորդուրորդություններով: Նկատվում է կցման գործակցի արժեքի խիստ նվազում հղկման պրոցեսի սկզբում և հետագա կայունացում:

Ավտոմոբիլների անիվների ազդեցությամբ պայմանավորված՝ միկրոանհարթությունների հղկման երևույթները կախված են օգտագործվող լեռնատեսակի հատկություններից (հատիկայնություն, որակական և քանակական հարաբերակցություններ, հողմահարելիության աստիճան), ծածկույթների վրա հղկանյութերի (փոշի, ծածկույթի մաշի արգասիքներ) քանակից ու որակից, ջրի առկայությունից, տրանսպորտային հոսքի բնույթից:

Ճանապարհային ծածկույթի մակրոխորդուրորդությունների բարձրության փոփոխման ընդհանուր օրինաչափությունը բավական ճշտորեն նկարագրվում է հետևյալ արտահայտությամբ.

$$R_{\eta\eta} = ac^{-bM} + c, \quad (22)$$

որտեղ $R_{\eta\eta}$ -ը մակրոխորդուրորդության միջին բարձրությունն է, մմ,

M -ն անցած ավտոմոբիլների քանակն է,

ա, բ, ս -ն գործակիցներ են, որոնք կախված են խճի չափից, ծածկույթի ամրությունից և տրանսպորտային հոսքի կազմությունից:

Ավտոմոբիլային ճանապարհների ամրությունը բնութագրվում է մակրոխորդությունուներ ստեղծող խճի ընկղմնամբ: Այս տեսակետից ցեմենտքետոննե ծածկույթները բացարձակ ամուր են: Ասֆալտքետոննե ծածկույթների ամրությունը փոփոխվում է լայն սահմաններում՝ կախված խճի պարունակությունից, խտացման աստիճանից և ջերմաստիճանից: Որքան մեծ է խճի պարունակությունը և ցածր՝ ջերմաստիճանը, այնքան մեծ է խճի ընկղմնանը դիմադրող ուժը: Խտացման աստիճանը բարձրացնում է ճանապարհային ծածկույթների ամրությունը:

Ճանապարհային ծածկույթների ամրությունը գնահատվում է հատուկ սարքի՝ կարծրաչափ ասեղի ընկղմնան խորությամբ: Ըստ ամրության՝ ասֆալտքետոննե ծածկույթները բաժանվում են 5 խմբի, որոնց համար սահմանված է կարծրաչափի ասեղի ընկղմնան խորությունը.

1. խիստ ամուր՝ 0-2 մմ, 2. ամուր՝ 2-5 մմ, 3. նորմալ՝ 5-8 մմ, 4. փափուկ՝ 8-12 մմ,

5. շատ փափուկ՝ 12-21 մմ:

Ճանապարհային ծածկույթների անհարքությունների փոփոխման բնույթի և օրինաչափությունների վրա ազդում են ավտոմոբիլների երթևեկության ինտենսիվությունը և տրանսպորտային հոսքի կազմը (ուղղակի կախվածություն), խճի չափերը, ծածկույթի նյութը և բնակլիմայական պայմանները:

Ավտոմոբիլների հոսքի ինտենսիվության և բեռնատարների ստեղծած բեռնավորումների աճի պատճառով կատարվել է անցում փոքր չափի խճի դեպի ավելի խոշոր չափը, ինչը տարբեր երկներում տատանվում է 12-40-նմ սահմաններում: Սակայն, որպես նման միտման թերություն, կարելի է նշել տրանսպորտային աղմուկի մակարդակի բարձրացումը:

Փորձնականորեն հաստատված է, որ ճանապարհային ծածկույթների խորությունը փոփոխությունը, կախված ավտոմոբիլների երթևեկության M ինտենսիվությունից, կարելի է մոտարկել հետևյալ արտահայտությամբ.

$$\Delta R = M/(a + bM), \quad (23)$$

որտեղ a և b-ն գործակիցներ են, որոնք կախված են մաշի շերտում օգտագործվող խճի չափից և ծածկույթի ամրությունից: ΔR -ի թույլատրելի արժեքի համար կարող ենք գրել.

$$\Delta R = \frac{R_{սղք.} - R_{սահմ.}}{R_{սղք.}} \cdot 100\%, \quad (24)$$

որտեղ $R_{սղք.}$ -ը նոր կառուցված ճանապարհի ծածկույթի մակրոխորդությունների բարձրությունն է,

$R_{սահմ.}$ -ը՝ անվտանգ երթևեկության տեսակետից խորությունների թույլատրելի սահմանային արժեքը:

Տրանսպորտային հոսքի բնույթից կախված՝ հաստատված է.

$$M = 365 \cdot N_0 T (q^T - 1) / (q - 1), \quad (25)$$

որտեղ N_0 -ն ճանապարհի առաջին տարում միջին օրական հաշվարկային ավտոմոբիլների երթևեկության ինտենսիվությունն է,

T -ն ծածկույթի ծառայության տարիներն են՝ ըստ կցման հատկանիշների,
 q -ն ինտենսիվության աճի գործակիցն է:

Եթե $q = 0$, այսինքն՝ ճամապարհների խիստ ծանրաբեռնվածության դեպքում անցած
ավտոմոբիլների քանակը՝

$$M = 365 \cdot N_0 T : \quad (26)$$

Օգտվելով 23-րդ և 25-րդ հավասարումներից՝ T -ի համար կստանանք.

$$T = \frac{\ell g [a\Delta R(q-1)] - \ell g [365N_0(1-b\Delta R)]}{\ell g q} : \quad (27)$$

$q = 0$ դեպքում 23-րդ և 26-րդ արտահայտություններից կարող ենք գրել.

$$T = a\Delta R / 365N_0(1-b\Delta R) : \quad (28)$$

27-րդ և 28-րդ հավասարումների լուծումը փաստորեն հանգում է 24-րդ արտահայտության
մեջ եղած $R_{u_{qq,p}}$ և $R_{uu_{hs}}$ մեծությունների որոշմանը: Փորձերի հիման վրա հաստատված է, որ
նվազագույն թույլատրելի կցման ապահովման համար, որպես ճանապարհային ծածկույթների
խորդությունների սահմանային արժեք, կարելի է ընդունել $R_{uu_{hs}} = 0.3\text{մմ}$:

Մակրոխորորդությունների սկզբնական բարձրության արժեք կարելի է սահմանել.
 $R_{u_{qq,p}} = 6 - 7\text{մմ}$, իսկ դրանց գագաթներով միջին քայլը՝ $S = 25 - 30\text{մմ}$ (նկ.19, 20): $R_{u_{qq,p}}$ ավելի
մեծ արժեքներն իրենց համապատասխան S քայլի արժեքների դեպքում ճանապարհային
ծածկույթի վրա ստեղծում են միկրոպրոֆիլ, որի առաջացրած տատանումներն անվադողով
ամբողջովին չեն կլանվում և սկսում են փոխանցվել ավտոմոբիլի կախոցին:

2.2. Ճանապարհային ծածկույթների կցման հատկանիշների, խորդությունների հարթության և ամրության գնահատումը

2.2.1. Ճանապարհային ծածկույթների կցման հատկանիշների գնահատման մեթոդիկաներ

Ավտոմոբիլային տրանսպորտի գարգացման բարձր մակարդակը, ճանապարհային
ծածկույթների ավելացված սահունության կամ դրա հետ առնչվող այլ պատճառներով առաջացած
ՇՏՊ-ների զգալի քանակը պահանջում են ճանապարհային ծածկույթների կցման հատկանիշների
մանրամասն ուսումնասիրություն թույլատրող մեթոդիկայի մշակում:

Ճանապարհների կցման հատկանիշների գնահատումն իրականացվում է տարբեր
նապատակներով՝ համաձայն սպառողի կարիքների:

Ավտոմոբիլային դողեր արտադրողներին հետաքրքրում է կցման հատկանիշների վրա
դրույթի բնութագրերի (կառուցվածքի և ռետինի քիմիական բաղադրության
առանձնահատկություններ, պահպանաշերտի նախշ, հագեցվածություն, խորություն), անիվների
գլորման պարամետրերի (նորմալ բեռնվածք, ներքին օդի ճնշում, շարժման արագություն)
ազդեցությունը:

ճանապարհաշահագործական կազմակերպություններին նորոգման աշխատանքների պլանավորման և ժամանակին իրականացման նպատակով անհրաժեշտ են տեղեկություններ նոր ճանապարհային ծածկույթների կցման հատկանիշների և ժամանակի ընթացքում դրանց հմարավոր փոփոխության մասին:

Ավտոտեսչությանը և դատավորձաքննական մարմիններին ՇՏՊ-ների պատճառների բացահայտման նպատակով հետաքրքրում են դրանց առաջացման պահին կցման գործակցի արժեքի տեղեկությունները:

Ճանապարհային ծածկույթների կցման հատկանիշների բնութագրման հիմնական ցուցանիշը կցման գործակցին է, իսկ անուղղակին՝ մակերևույթի մակրո և միկրո խորուրդությունը:

Ճանապարհային ծածկույթների կցման հատկանիշների օբյեկտիվ գնահատման համար իրականացվում են համալիր աշխատանքներ, որոնք ընդգրկում են.

- կցման գործակցի որոշում,
- ծածկույթի ամրության որոշում,
- ծածկույթի և շրջակա օդի ջերմաստիճանի չափում,
- երթևեկության ինտենսիվության, տրանսպորտային հոսքի կազմի և դրա հեռանկարային փոփոխության մասին տեղեկությունների հավաքում,
- ճանապարհային ծածկույթի մաշի շերտի կառուցման համար օգտագործված խճի չափի և նախնական մակրոխորուրդության մասին տեղեկությունների հավաքում:

Տրանսպորտային հոսքում ավտոմոբիլների շարժման արագությունների լայն ընգրկույթի պատճառով անհրաժեշտ է դառնում կցման գործակցի $\varphi = f(V)$ կախման ստացումը: Այն կառուցվում է առնվազն երեք կետերով, ինչը թույլատրում է բավական հուսալի միջարկել (արտարկել) կցման գործակցի արժեքները:

Եթե կցման φ գործակցի որոշումն արագության բավարար թվով արժեքների պայմաններում անհնար է տրանսպորտային հոսքերի բարձր խտության, դժվարացված ճանապարհային պայմանների կամ այլ պատճառներով, ապա այն որոշում են արագության մեկ արժեքի (օրինակ, 60կմ/ժամ) դեպքում: Այնուհետև չափելով ճանապարհային ծածկույթի մակրոխորուրդության անհարթությունների միջին $R_{\text{դից}}$ բարձրությունը և օգտվելով հաստատված $\varphi = f(V, R_{\text{դից}})$ կախումից՝ ստանում են կցման գործակցի արժեքը շարժման ցանկացած արագության համար:

Քանի որ դրդերի պահպանաշերտի ռետինի ֆիզիկամեխանիկական հատկությունները զգալիորեն կախված են ջերմաստիճանից, ուստի անիվների կցման գործակցները որոշվում են հաշվարկային ջերմաստիճանի $+20^{\circ}\text{C}$ դեպքում՝ նկատի ունենակով նաև ջերմաստիճանային տատանումների համար սահմանված ճշգրտումները:

Չափիչ սարքերի բացակայության դեպքում ծածկույթների կցման հատկանիշները բնութագրվում են օգտագործված նյութի (խճի) հատկությունների հաշվառմամբ՝ դրանց մակրո և միկրոխորուրդությունների անհարթություններով:

Ներկայումս էլ շարունակվում է շարժման տարբեր արագությունների դեպքում ճանապարհային ծածկույթների մակրո և միկրոխորդուրդություններից կախված կցման գործակցի տվյալների կուտակման պրոցեսը:

Ժամանակի ընթացքում ճանապարհային ծածկույթի և տրանսպորտային հոսքի մասին տեղեկատվության համաձայն՝ ծածկույթների մակրոխորդուրդության և կցման գործակցի հավանական փոփոխման կանխատեսումը ենթադրում է.

- հետազոտման պահից սկսած՝ կանխատեսման կարճատև՝ 1-2 (մինչև 3-5) տարի ժամկետի սահմանում, ինչը բույլատրում է տրանսպորտային հոսքի կազմությունը համարել հաստատուն և բավական ճշգրիտ ստանալ երթևեկության իմտենսիվության աճի արժեքը,

- երթևեկության սկսման պահից մինչև հետազոտման օրը ժամանակահատվածում ճանապարհի դիտարկվող տեղամասի գոտիով անցած հաշվարկային ավտոմոբիլների վերաբերյալ եղած տվյալների և իմտենսիվության աճի հաշվառման հիման վրա կանխատեսման ժամերի վերջում սպասվող անցնող հաշվարկային ավտոմոբիլների քանակի որոշում,

- շինարարության սկզբում կամ հետազոտման պահին ունեցած տվյալների հիման վրա կանխատեսման ժամանակահատվածի վերջում ճանապարհային ծածկույթի միջին մակրոխորդուրդության որոշում,

- զանազան տիպերի (միջին հատիկավոր, ավագային և այլ) ասֆալտբետոնե ճանապարհային ծածկույթների անհարթությունների մակրոխորդուրդության բարձրության, ամրության և մաշի շերտի, խճի ընկրծման տվյալների հիման վրա մանրահատիկի համեմատությամբ վերահաշվարկի միջոցով կանխատեսման ժամկետի վերջում կցման գործակցի հավանական արժեքի ստացում:

2.2.2. Ճանապարհային ծածկույթների կցման հատկանիշների որոշման սարքեր

Նման սարքերը դասակարգվում են մի շարք հատկանիշներով:

Ըստ նշանակության՝ տարբերում են ավտոմոբիլային դողերի, ճանապարհային և աերոդրոմային ծածկույթների գնահատման սարքեր:

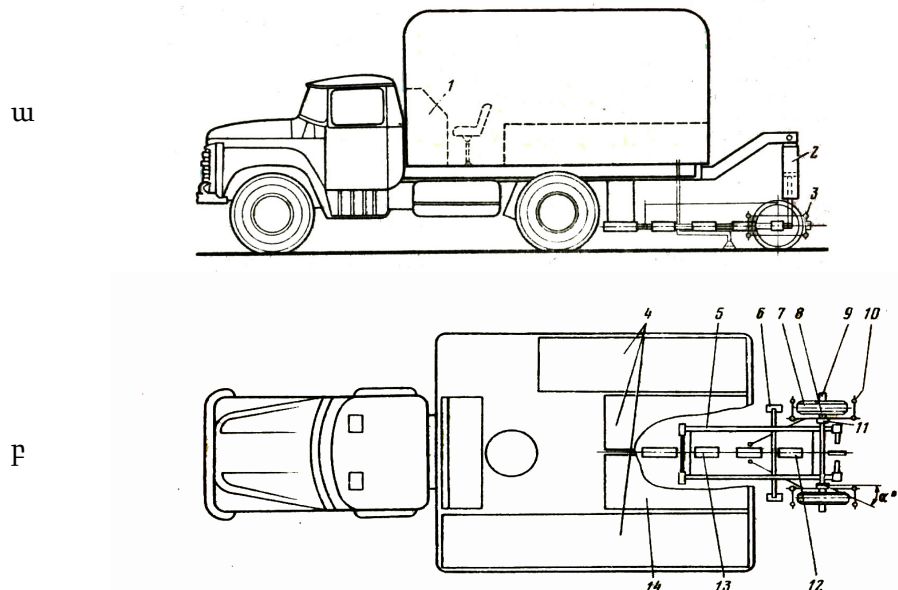
Ըստ սայթաքելիության աստիճանի գնահատման սկզբունքի՝ բաժանվում են արգելակային ուժի կամ մոմենտի չափման սարքերի, որոնք չափում են ավտոմոբիլի արգելակման դեպքում դանդաղեցման իմտենսիվությունը և իրենց հերթին, ըստ կառուցվածքային առանձնահատկությունների, դասվում են ուժաչափականների և դյուրակիրների խմբերի:

Ըստ ավտոմոբիլային դողերի հպատեղում շփման պրոցեսի մոդելավորման՝ տարբերում են բնօրինակային և ֆիզիկական խմբերի սարքեր: Բնօրինակային մոդելավորողներ են ավտոմոբիլի դանդաղեցումը չափող ուժաչափական սարքերի մեծամասնությունը և ավտոլարորատորիաները: Ֆիզիկական մոդելավորողների բվին են պատկանում որոշ ուժաչափական և բոլոր դյուրակիր սարքերը:

Ուժաչափական սարքերը կցման գործակիցը չափում են շարժման արագության որոշակի արժեքի դեպքում: Պատրաստվում են մեկ կամ երկու անիվներով: Ունեն գործնականորեն միատեսակ, սակայն որոշ առանձնահատկություններով օժտված կառուցվածք, ինչը

նախատեսում է իրանի փափուկ կախոց (սովորաբար զսպանակային), հիդրավլիկ մեղմիչների օգնությամբ տատանումների մարում և արգելակման դեպքում փորձարկվող անվի վրա հաստատուն ուղղածից բեռնվածք ապահովող զուգահեռագծային-հոդակապային սարքածք: Նման սարքերից են «ПКРС» և ԲելդորНИИ-ի սարքերը: Վերջինիս կառուցվածքում նախատեսված է ստուգիչ անիվ, ինչը թույլատրում է որոշել փորձարկվող անվի սահքի աստիճանը մասնակի բլոկավորման դեպքում:

Առավել հաջողված կառուցվածք հանդիսացող «МАДИ-8» (նկ.29) ուժաչափական ավտոմոբիլ-լարորատորիան տեղակայված է «ԶԻԼ-130» ավտոմոբիլի բազայի վրա կահավորված 330մմ (13 դյույմ) տրամագծի անվահեցի վրա նստեցվող, 0...5,886Ն ուղղածից բեռնվածքով բեռնավորվող փորձարկվող դրույթով: Լարորատորիայի շարժման ուղղության հետ փորձարկվող անվի պտտման հարթության համընկնող դիրքավորման դեպքում բլոկավորման (լրիվ սահքի) ռեժիմում որոշվում է անվի երկայնական կցման գործակիցը: Շարժման ուղղության նկատմամբ կողատարքի անկյունով դիրքավորման միջոցով որոշվում են լայնական կցման գործակիցներն անվի գլորման մասնակի սահքի և լրիվ բլոկավորման ռեժիմներում:



Նկ.29. Կցման գործակցի չափման ուժաչափական սարքով «МАДИ-8» ավտոմոբիլ-լարորատորիան.
ա - տեսք կողքից, բ-տեսք վերևից, 1-կառավարման վահանակ, 2-ուղղագիծ բեռնվածքի պնևմագլան, 3-չափիչ անվային բլոկի շրջանակ, 4-ջրի տարողություններ, 5- կցորդի շրջանակ, 6-ծածկույթի խոնավացման համակարգի ծայրափողակներ, 7-կցորդի անիվ, 8-անվի դարձի հոդակապ, 9-պտուտագներատոր, 10-երկայնական չափիչ ձգան, 11-լայնական չափիչ ձգան, 12-անվի դարձի համակարգի էլեկտրամեխանիկական հենակ, 13-դարձի պնևմագլան, 14-օդամբար:

Արգելակման ինտենսիվությունը չափող սարքերի զգալի մասը ծածկույթների կցման հատկանիշները գնահատում է արգելակման դեպքում ավտոմոբիլի դանդաղեցման չափման սկզբունքի հիման վրա և տարբերվում է միայն շարժման արագության չափման եղանակով: Այս նպատակով օգտագործվում են արագաչափ, պտուտագներատոր կամ հինգերորդ անիվ:

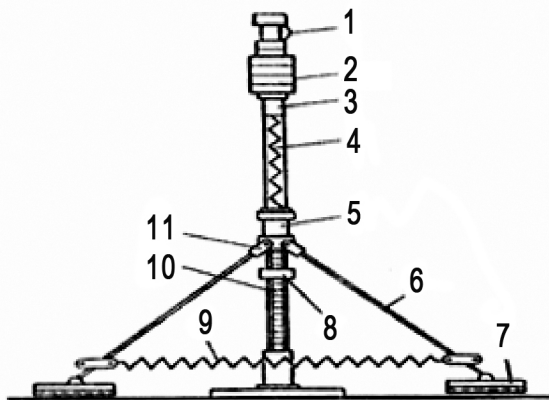
Ծածկույթների կցման հատկանիշների գնահատման համար, սովորաբար մինչև 60 կմ/ժ արագությամբ մարդատար ավտոմոբիլի շարժման դեպքում, կիրառվում է նաև ուժաչափման եղանակը:

Դյուրակիր սարքերը բնորոշվում են կառուցվածքի բազմազանությամբ: Մշակված են ճոճանակային, անվային, էլեկտրական տիպի, ռոտացիոն և հարվածային գործողության սարքեր, որոնցից և ոչ մեկը լայն տարածում չի ստացել:

Կառուցվածքային առումով առավել կատարյալ է հարվածային գործողության «МАДИ-6» դյուրակիր սարքը (նկ.30):

Այն բաղկացած է երկու հոդակապերով 11 շարժական ագույցի 5 և ռետինե նմանակիչների 7 հետ միացված հրող երկու ձգաններից 6, վերին մասում (վարնետման սարքվածքում) շարժական բեռնվածքով 2 ամրակցված հենարանային մետաղաձողից 3, զապանակներից 4 և 9, գրանցող տափողակից 8: Ցուցումների գրանցումը կատարվում է համաձայն սանդղակի 10: Հարվածային գործողության այս սարքը մոդելավորում է ճանապարհային ծածկույթի հետ ավտոմոբիլային դողի փոխազդեցության պրոցեսը: Ընկնող բեռի զգալի զանգվածն անկման բավարար բարձրությունն ապահովում է ռետինե նմանակիչների շարժման բարձր սկզբնական արագությունն և սեղմող ուժի զգալի արժեքներ: Նմանակիչների մակերեսը մոտավորապես հավասար է ավտոմոբիլային դողի իրական հպատեղի մակերեսին և յուրաքանչյուրի համար կազմում է $100 \times 146 \text{ մմ}^2$:

Ընկնող բեռով նմանակիչների հպատեղում ստեղծվող տեսակարար ճնշումը մոտավորապես հավասար է մարդատար ավտոմոբիլային դողի հպատեղում գործող տեսակարար ճնշման մեծությանը: Փոփոխելով շարժական բեռի զանգվածը և դրա անկման բարձրությունը՝ հնարավոր է ստանալ ուժաչափական «МАДИ-6» սարքի շարժման այս կամ այն արագությանը համապատասխանող նմանակիչի շարժման սկզբնական արագությունը:



Նկ.30. Կցման գործակցի չափման հարվածային գործողության «МАДИ-6» դյուրակիր սարք:

Սոդելավորման հիմնական պահանջների (հպատեղի մակերեսների, տեսակարար ճնշումների, նմանակիչի և դողի պահպանաշերտի ռետինեների կոշտության հավասարություն) կատարումն ապահովում է դիտարկված դյուրակիր և ուժաչափական սարքերի ցուցմունքների համապատասխանությունը:

2.2.3. ճանապարհային ծածկույթների ամրության գնահատման եղանակներ և սարքեր

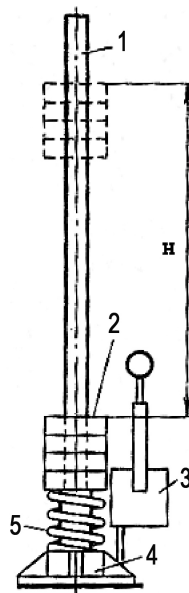
Չափիչ սարքերի միջոցով ճանապարհային պատվածքների ամրության չափման եղանակները, ըստ բեռնվածքների հաղորդման պայմանների, լինում են ստատիկական և

դիմամիկական, իսկ ըստ ճկվածքների չափման պայմանների՝ ընդհատուն (առանձին կետերում) կամ անընդհատ (շարժման ավտոմատ ռեժիմում որոշակի, օրինակ, 3...6մ հեռավորությամբ):

Լայն տարածում է ստացել ճկվածքաչափի կիրառմամբ անշարժ ավտոմորբիլի երկտակ անիվների հպատեղի կենտրոնի ճկվածքի չափման ՄԱԴԻ -ի եղանակը: Բեռնվածքը ստեղծվում է «ՄԱՅ» ընտանիքի տարրեր մակնիշների (200,205,500,503) ավտոմորբիլների միջոցով: Օգտագործվում է 3,75մ երկարության «ԿՊ-204» մակնիշի երկարաբազա ճկվածքաչափ: Ծանապարհային ծածկույթի ճկվածքը չափվում է 5-10մ հեռավորությունների վրա, յուրաքանչյուր տեղում՝ 2-3 անգամ: Ճկվածքի չափումը հնարավոր է նաև բարձր ճշգրտության մակարդակաչափի կամ լուսաէլեկտրական ճկվածքաչափի լազերային ճառագայթի միջոցով:

Մշակված են հատուկ կախովի ճկվածքաչափներով կահավորված դանդաղ շարժվող (2...3,5կմ/ժ) բարձր արտադրողական լաբորատորիաների կառուցվածքներ, որոնք չափում են ավտոմորբիլի հետին կամրջակի յուրաքանչյուր անվի կողմից ստեղծած՝ ճանապարհային պատվածքի ստատիկ առաձգական ճկվածքը:

Ներկայումս լայն կիրառություն են ստացել ընդհատուն դիմամիկական բեռնավորման եղանակները, որոնք օգտագործող կայանքներում բեռլ որոշակի բարձրությունից նետվում է կոշտ զապանակից կամ անվից կազմված մեղմիչ սարքվածքի վրա: Հաղորդված կարճատև (0,2-0,4վ) դիմամիկական բեռնավորումը մոտավորապես հավասար է շարժվող ավտոմորբիլի ստեղծածին: Նման ընկնող բեռով ստացվող դիմամիկական բեռնավորման՝ ՄԱԴԻ-ի մշակած «УДН-НК» կառուցվածքի սիմեման բերված է նկ.31-ում: Մեղմիչ տեղակայանքի ուղղորդում 1 նետվող բեռլ 2 փորձարկվող ճանապարհային պատվածքի վրա դրոշմի 4 միջոցով ստեղծում է կարճատև ճիգ: Բերի և դրոշմի բարձրացումը կատարվում է ճեղքի կամ մեխանիկական ճախարակով:

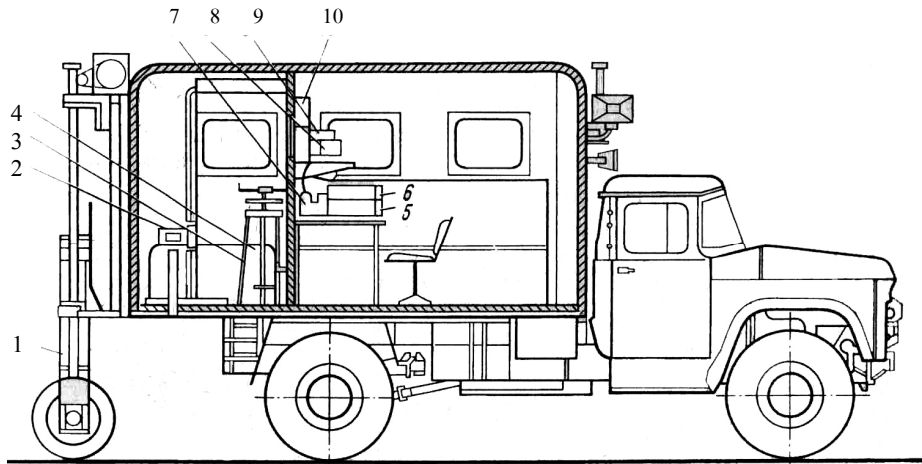


Նկ.31. Դիմամիկական բեռնավորման հարմարանքի սկզբունքային սխեմա:

Ճանապարհային պատվածքի առաձգական ձևափոխությունը չափվում է տատանագրիչի 8 միջոցով և գրանցվում թղթե ժապավենի վրա կամ չափվում տեղափոխության տվյալով և գրանցվում օսիլոգրաֆի մագնիսական ժապավենի վրա: Բեռլ «УДН-НК» մոդելի դիմամիկական մոդելավորման կայանքում նետվում է ոչ բերանակով կոշտ դրոշմի, այլ մեղմիչի դերում հանդես

Եկող երկտակ անվի վրա: Այս կայանքի հիման վրա ստեղծված է շարժական «KH-502MP» լարորատորիան (նկ.32), որով որոշվում է ոչ կոշտ ճանապարհային պատվածքների ամրությունը:

Ներկայումս ստատիկական և դինամիկական եղանակներով զանազան տիպի ճանապարհային պատվածքների փորձարկումների արդյունքների միջև հաստատված են հարաբերակցական կապեր, որոնց համաձայն՝ առածգականության դինամիկական մոդուլը 40-60 % -ով գերազանցում է ստատիկականը:



Նկ.32. «KH-502MP» ավտոմոբիլ-լարորատորիայի ընդհանուր տեսքը.

- 1-Ուժաչափական բեռնավորման «УДН-НК» տեղակայանը, 2-«УКБ -12/25» հորատահասոց,
- 3- սահքի (տեղաշարժման, տեղափոխության) սարք, 4- բեռնակետրական ազրեգատ,
- 5- «УДН-НК»-ի կառավարման վահանակ, 6- համաձայնեցնող ուժեղարար, թվային վոլտաչափ,
- 7- տեղեկատվության «ЭУМ -23» գրանցասարք, 8- թրուչաչափական սարք,
- 9- հեռավորությունների չափիչ, 10- բեռի բարձրացման և նետման ավտոմատ կառավարման բլոկ:

2.3. Ծածկույթների հարթության, խորդութորդության և կցման հատկանիշների գնահատումը

Ծածկույթների հարթության և կցման հատկանիշների գնահատման համար կիրառվում է անլինիատ կամ ընտրանքային հսկում: Առաջին դեպքում օգտագործվում են բարձր արտադրողական շարժական լարորատորիաներ նոր կառուցված կամ վերանորոգված ճանապարհների շահագործման հանձնումից առաջ, և հետազոտվում են ավելի քան 1 կմ երկարության ճանապարհահատվածներ: Երկրորդ դեպքում օգտագործվում են շարժական լարորատորիաներ կամ դյուրակիր սարքեր, և հետազոտման են ենթարկվում դիտազննությամբ ընտրված 1 կմ-ից փոքր երկարության ճանապարհահատվածներ:

Հատ գործողության սկզբունքի՝ ճանապարհային ծածկույթների հարթության չափման սարքերը բաժանվում են հետևյալ խմբերի:

– անհարթությունների պարամետրերի գրանցիչներ (ձողեր, պրոֆիլագրիչներ, թեքաչափեր, պրոֆիլաչափեր, մակարդակաչափեր և այլն),

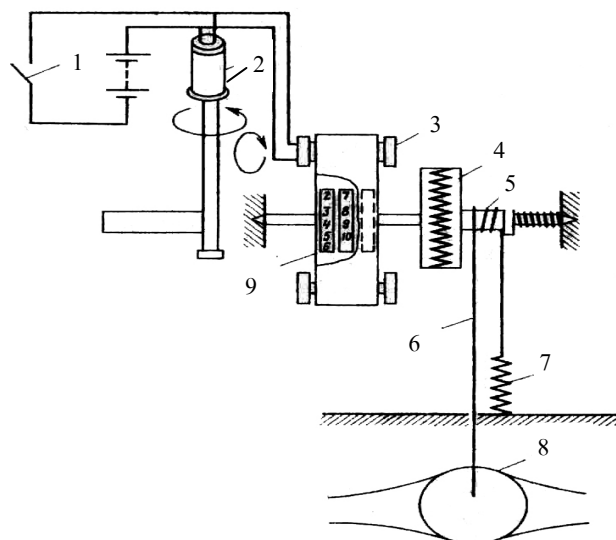
– իմպուլսային (ավտոմոբիլի առանձին տարրերի տատանումները կամ տեղափոխությունները չափող հարվածաչափեր, արագացումաչափեր),

– իներցիոն (ճանապարհի երկայնական պրոֆիլի դինամիկական կերպափոխիչներ):

Ճանապարհային ծածկույթների հարթության չափումը կատարվում է հպոմային, անհպում, ընդհատուն և անընդհատ, պարզ և վերլուծող սարքավորումների օգտագործման եղանակներով:

Շինարարության և շահագործման ընթացքում ընտրանքային հսկման նպատակով առավել կիրառություն է ստացել 3 մ երկարությամբ ձողով սեպի միջոցով ճանապարհների հարթության ընտրանքային հսկման անմիջական ընդհատուն չափման եղանակը:

Իմպուլսային գործողության սարքերից լայն տարածում են ստացել հարվածաչափները, որոնցից առավել կատարելագործված «TKX-2» կառուցվածքի սխեման պատկերված է նկ.33-ում: Այն բաղկացած է ավտոմորիլի հետին կամրջակի 8 հետ միացվող արգելակային կցորդիչին 4 միացված թմրուկի 5 վրա փարարվող ճկուն ճոպանից 6, որի մյուս ծայրը ձգիչ զսպանակով 7 միացված է ավտոմորիլի թափքի հատակին ամրացված սարքին: Թափքի տատանումների և զսպանների սեղմանան ընթացքում ձգված ճոպանը պտտում է թմրուկը 5 ու կցորդիչը 4, ինչի հետևանքով փոփոխվում են հաշվիչ մեխանիզմի 9 ցուցմունքները, որոնք տպվում են սեղմակոճակից 1, էլեկտրաշարժիչներից 2, 3 կազմված էլեկտրամագնիսական մեխանիզմով շարժաբերվող թղթե ժապավենի վրա:



Նկ.33. ՍօւզդօրՀԱԻ-ի TKX-2 հարվածաչափի սխեման.

1-սեղմակոճակ, 2 և 3-էլեկտրաշարժիչներ, 4-կցորդիչ, 5-թմրուկ, 6-ճկուն ճոպան, 7-զսպանակ, 8-ավտոմորիլի հետին կամրջակ, 9- հաշվիչ մեխանիզմ:

Չափումները կատարվում են 50 կամ 60կմ/ժ արագությամբ շարժվող որոշակի բեռնավորված ավտոմորիլի դեպքում: Հաշվարկվում է ճանապարհի յուրաքանչյուր 1 կմ երկարության հատված:

Առաջին անցումից հետո կատարվում է երկրորդը՝ հնարավորին չափ կրկնելով հետագիծը: Այն ճանապարհահատվածներում, որտեղ ցուցանիշների համընկնումը հավասար չէ, այսինքն՝ անցումների տարրերությունը գերազանցում է 25 սմ/կմ, կատարվում է երրորդ անցումը: Չափումների տվյալների մշակման արդյունքում կառուցվում է ծածկույթի հարթության գրաֆիկը, որտեղ ցույց են տրվում նաև, ըստ հատվածաչափի ցուցմունքների, սահմանային թույլատրելի արժեքները:

Հարկ է նշել, որ հատվածաչափով որոշվում է մակերևույթի ոչ թե իրական, այլ պայմանական հարթությունը, քանի որ չափման արդյունքները կախված են ոչ միայն ծածկույթի վիճակից, այլև ավտոմորիլի կախությունից ու բեռնավորումից: Բնականաբար, տարրեր մակնիշների

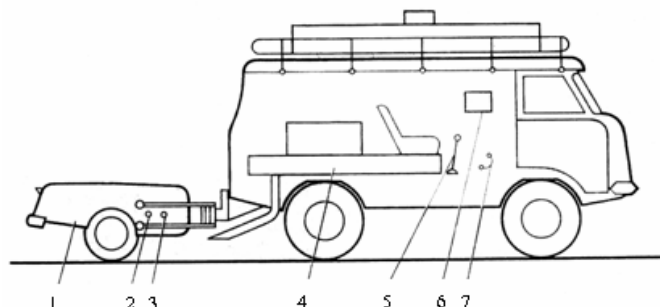
ավտոմոբիլների պարագայում միևնույն հատվածաշափով նույն ճանապարհահատվածի հարթության չափման արդյունքները տարբեր են:

Ավելի կատարյալ են իներցիոն գործողության ՄԱԴԻ-ի և ՍոյզդօրՆИИ-ի կցովի հարթաշափները, որոնք ունեն համեմատաբար ծանր զանգվածով ծանրաթեռնված չափիչ անիվ: Բեռը և անիվը միասին տատանվում են միևնույն ընդհանուր կենտրոնի նկատմամբ: «Անիվ-զանգված» համակարգի տեղափոխությունները ճանապարհային ծածկույթի հարթության քննութագիր են:

Որպես հարթության անընդհատ հակման չափօրինակ՝ ընդունված է «ՊԿԾ-2Ս» ուժաշափական կցորդով «ԿՊ-511» մակնիշի լաբորատորիան (նկ.34), որը նախատեսված է հարթության և կցման գործակցի չափման համար:

Այն կազմված է հատուկ կահավորված ավտոմոբիլից (ՅԱՅ, ՐԱՓ, ԵրԱՅ տիպի) և փափուկ կախոցով միանիվ կցորդից, որի վրա տեղակայված են հարթության և արգելակային ուժի չափման տվյալները: Ավտոմոբիլի թափքում տեղակայված են կառավարման և գրանցման սարքավորումները, ծածկույթի ջրանցման բարը:

Հարթությունը չափում են 60 կմ/ժամ և ± 2 կմ/ժամ թույլատրելի արագությամբ երթանցի դեպքում: Չափումների արդյունքներով հաշվում են միջին շեղումները և դրանց համապատասխանող հարթության չափանիշների արժեքները:



Նկ.34. Հարթության և կցման գործակցի գնահատման «ԿՊ-511» լաբորատորիայի ընդհանուր տեսքը.

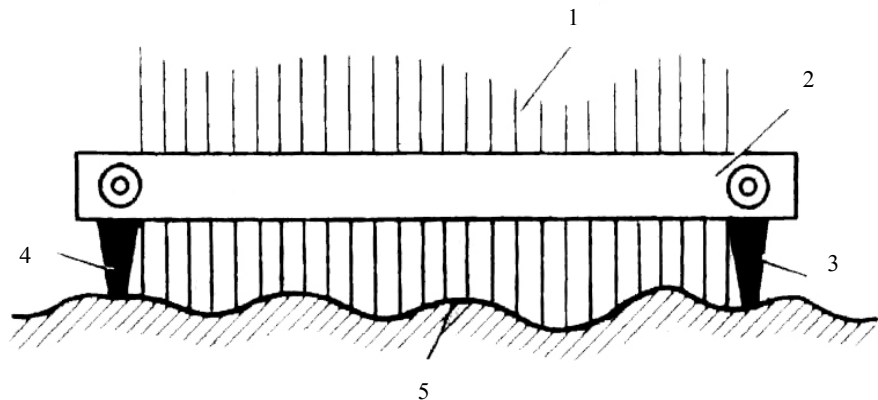
1-«ՊԿԾ-2Ս» կցորդ, 2-կցման տվյալ, 3- հարթության տվյալ, 4- ջրի բաք, 5- ջրման կառավարման բռնակ, 6- չափումների գրանցման բլոկ, 7- արգելակի ոտնակ:

Ճանապարհային ծածկույթի խորդութորդությունը չափում է լազերային, անդրածայնային, տարածքայիսանկարաչափության եղանակների հիման վրա աշխատող սարքերով, «ՍոյզդօրՆИИ-4»-ի ասեղնավոր տիպի պարզ «ՊԿՌ» սարքով կամ «ավագե բջի» եղանակով:

Միկրոպրոֆիլագրիչի կամ «ՊԿՌ-4» (նկ.35) ասեղնավոր սարքի կիրառման պարագայում ծածկույթի խորդութորդությունը գնահատում են ելուստների միջին բարձրությամբ, դրանց գագաթների միջև միջին հեռավորությամբ և գագաթներում ունեցած անկյունների մեծությամբ:

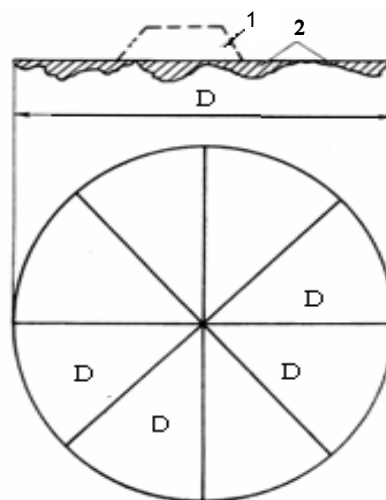
Յուրաքանչյուր ճանապարհահատվածում նշում են միմյանցից 5-10մ հեռավորությամբ երեքից ոչ պակաս ուղեհատվածքներ, որոնցից յուրաքանչյուրի սահմաններում կատարում են երեքից ոչ պակաս չափում (ինքնագլորման արտաքին և ներքին գոտիներում, երթևեկելի մասի առանցքի վրա): Միկրոպրոֆիլագրիչով կամ «ՊԿՌ-4» սարքով խորդութորդությունները

յուրաքանչյուր տեղում չափվում են երկու անգամ (ճանապարհի առանցքով և դրան ուղղահայաց): Չափումների արդյունքների 10%-ից ավելի տարբերության դեպքում կատարում են երրորդ չափումը՝ տեղադրելով սարքը ճանապարհի առանցքի նկատմամբ 45° անկյուն կազմող ուղղությամբ:



Նկ.35. СоюздорНИИ-ի «ПКШ-4» սարք.
1- ասեղներ, 2-սեղմաձողիկ, 3,4- հենարաններ, 5- ծածկույթի մակերևույթ:

«Ավագե բիծ» եղանակով խորդուբորդության չափման համար 25 կամ 50 սմ³ ծավալով մանրահատիկ ավազը չափագավարից ծածկույթի վրա թափվում է բլրակի տեսքով: Զանոնով կամ հարթ սկավառակով շրջանաձև բաշխում են ավազը, մինչև այն լցնի ծածկույթի իջվածքները, և բանոնի ներքնի մասը սկսի հպվել խորդուբորդությունների ելուստներին (նկ.36):



Նկ.36. Ծածկույթի մակերևույթի խորդուբորդության որոշումը «ավագե բիծ» եղանակով.
1-ավազի բլրակ մինչ հարթեցումը, 2- ավազի հարթեցումից հետո:

Այնուհետև չորս փոխուղղահայաց ուղղություններով չափում են ստացված շրջանի D_1 , D_2 , $D_3 \dots D_8$ տրամագծերը, որոշում դրանց միջին D արժեքը և գտնում խորդուբորդության իջվածքների միջին խորությունը, ամ

$$\Delta_{\text{սիզ}}(h_{\text{սիզ}}) = 4V_w / \pi D^2,$$

որտեղ V_w -ն ավազի ծավալն է, սմ³,

D -ն՝ շրջանի միջին տրամագիծը, սմ:

Այս սկզբունքով գործում է նաև ԳյորդօրНИИ-ի ծածկույթների խորդուբորդության չափման ոլորտակիր սարքը, ինչը ներկայացնում է մետաղյա գլան, որտեղ տեղադրված են գնդիկներ ու

մազնիս: Գլանում տեղաշարժվում է մխոցը, որի կոքը միացված է չափիչ քանոնին: Ներքևից գլանը ծածկված է սահակակով, որը ծածկույթի վրա տեղադրումից հետո բացում են: Սեղման ազդեցությամբ գլանը տեղաշարժվում է ներքև, և գնդիկները լցնում են խորդուրդության իջվածքները: Քանոնվ հաշվարկները հնարավորություն են տալիս ստանալ խորդուրդությունների ելուստների և դատարկությունների միջին արժեքը:

Ծածկույթների հետ դողերի կցման գործակցի որոշման սարքերը կարող են անմիջական չափել կամ ծածկույթի խորդուրդության տվյալներով անուղղակի գնահատել կցման գործակիցը:

Դաշտային պայմաններում անմիջական չափումների համար լայնորեն կիրառում են զանազան միանիվ կամ երկանիվ կցորդ ուժաչափական սայլակներ: Նման դեպքում կցման գործակցի որոշումը հիմնվում է ուժաչափով կամ ուժագրիչով անվի դողի և ծածկույթի համան գոտում առաջացող առավելագույն արգելափակված շոշափական հակագդման չափման վրա.

$$T = \phi Q,$$

որտեղ T -շոշափական ուժն է, \mathbf{Q} ,

Q -ն սայլակի զանգվածը, կգ:

Նախկին ԽՍՀՄ-ում կցման գործակցի որոշման համար որպես բազային ընդունված էր «ՊԿԲ-2Ս» կամ «ԿՊ-211» ուժաչափական սայլը, որը թույլատրում է որոշել φ -ն տենզոտվիչի միջոցով անվի հենարանային սկավառակի վրա հակագդող արգելակային ուժագույզի չափման եղանակով:

Կցորդի անվի տակ ծածկույթի խոնավացման համար նախատեսված է բաք և ջրի նորմավորված մատուցման սարքվածք: Կցման գործակիցը որոշվում է երեք փուլով.

– ծածկույթի մակերևույթի տեղազննում և գնահատում, համասեռ ծածկույթներով ճանապարհահատվածների սահմանների գրանցում, չափման տեղերի և դրանց անցկացման անվտանգության ապահովման միջոցառումների ընտրություն,

– ավտոմոբիլի և սարքի նախապատրաստումը չափումների (ավտոմոբիլի տեխնիկական վիճակի ջրման տեղակայանքի և սարքվածքի միացում ու փորձարկում, չափումների և ճանապարհահատվածի հիմնական տվյալների գրանցման մատյանի պատրաստում),

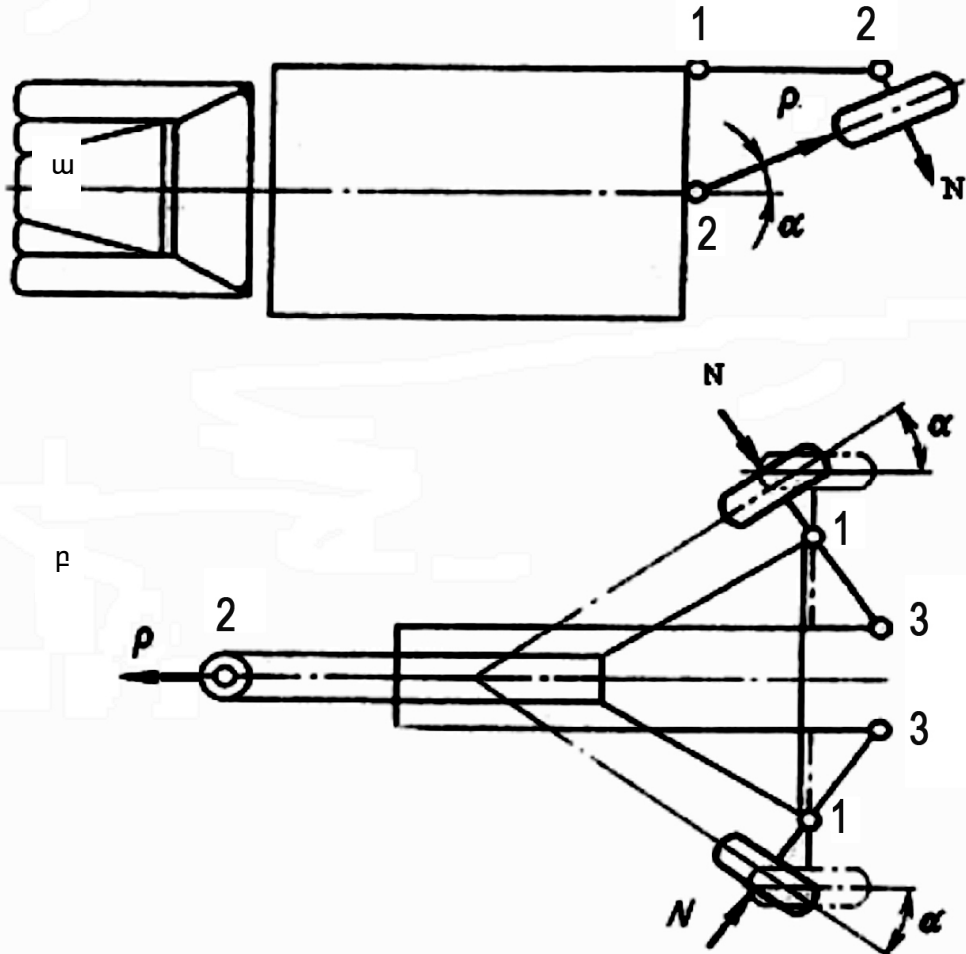
– չափումների անցկացում:

Կցման գործակիցը չափում են երթևեկության յուրաքանչյուր գոտում ավտոմոբիլ-լաբորատորիայի շարժման 60կմ/ժ արագության դեպքում կցորդ սարքի չափիչ անվի լրիվ բլոկավորման պարագայում: Չափիչ անիվը կահավորվում է 6,45-13 չափի 0,17 մՊա ներքին օդի ճնշմամբ և ամբողջովին մաշված նախշեր (հարթ պահպանաշերտ) ունեցող դողով: Չափիչ անվի վրա ուղղաձիգ բեռնվածքը սահմանվում է 3կՆ: Չափման պահին ծածկույթի վրա ջրի թաղանթի հաստությունը պետք է լինի 1 մմ-ից ոչ պակաս:

Յուրաքանչյուր հատվածում անցկացվում է երեք չափում: Եթե արդյունքների միջև տարբերությունը գերազանցում է 0,05-ը, ապա անցկացվում են լրացուցիչ չափումներ: Ստացված արդյունքները միջինացվում են: Շրջակա օդի փաստացի ջերմաստիճանի դեպքում ստացված կցման գործակցի արժեքները բերվում են հաշվարկային $+20^{\circ}\text{C}$ ջերմաստիճանի՝ համաձայն աղյուսակում բերվող ճշգրտման:

Օղի ջերմաստիճանը, C ⁰	0	5	10	15	20	25-30	≥ 35
Ծագրուում	-0,06	-0,04	-0,03	-20	0	+0,01	+0,02

Լայնական կցման գործակցի չափման համար կիրառում են տարբեր կառուցվածքի սայլակներ (Ակ.37), որոնք վերարտադրում են կողային ուժի ազդեցության դեպքում անվի գլորման պայմանները և նմանակում առանց արգելակման ավտոմոբիլի կողատարքը:



Ակ. 37. Լայնական կցման գործակցի չափման ուժաչափական կցորդների կառուցվածքային սխեման.
ա-ՄԱԴԻ-ի միանիվ սայլակ, բ- երկանիվ սայլակ (Ֆրանսիա), 1-հողակապային միացք, 2-ուժագրիչ,
3- ճնշման ճիգաչափ, P- քարշիչ ուժ, N- լայնական ուժ:

ՃՏՊ-ների հնարավոր առաջացման տեղերում (ճանապարհային հատումներ, հետխոտնային անցումներ և այլն) ծածկույթների սայթաքելիությունը զնահատում են դյուրակիր սարքերով, որոնցից հարվածային գործողության “ՊՊԿ-ՄԱԴԻ”-ի աշխատանքը հիմնված է ընկնող բեռի կուտակած էներգիան ծածկույթից 10-12 մմ քարձության վրա գտնվող դրույթի նմանակիչներին 1 հաղորդման հետևանքով դրանց տեղափոխության վրա: Ընկնելիս բեռը 3 հարվածում է կցորդիչին 4, ինչը ստիպում է հրող ձողերին 5 հաղթահարել զավանակների 2 դիմադրությունը և ծածկույթի վրայով սահել դրույթի նմանակիչներին: Ծածկույթի սայթաքելիությունը բնութագրող նմանակիչների վերջնական տեղափոխությունը որոշում են հենայան 6 վրայի սանդրակով:

Դյուրակիր սարքերով չափման արդյունքները համեմատական հարաբերակցական (կոռելյացիոն) փորձարկումների միջոցով բերվում են «ՊԿՐԸ-2Ս»-ի ցուցմունքներին:

Ե Զ Ր ԱԿ Ա Ց ՈՒԹ Յ ՈՒՆ

1. Ուսումնական ձեռնարկը նպատակառողջված է «Փոխադրումների և ճանապարհային երթևեկության կազմակերպում և կառավարում» մասնագիտության բակալավր-ճարտարագետների պատրաստմանը:

2. Առաջադրված աշխատանքը ավտոմոբիլային անվի և ճանապարհի փոխազդեցության ուսումնախրությունն է: Այդ նպատակով քննարկվել են դողերի ստատիկ բնութագրերը, անվի շառավիղները, շարժման դիմամիկան, աշխատանքի ռեժիմները, գլորման և կցման գործակիցները, կողատարքը, ինչպես նաև ճանապարհային ծածկությների խորդութորդությունը, կցման հատկանիշները, ամրությունը և այլն:

3. Դիտարկված նյութի իմացությունն անհրաժեշտ է ապագա բակալավրին հետագա մասնագիտական պրակտիկ գործունեության ընթացքում, մասնավորապես երթևեկության անվտանգության ապահովման հարցերում:

4. Ուսումնական ձեռնարկում բերված նյութն անհրաժեշտ է «Ավտոմոբիլային ճանապարհներ» և «Ավտոտրանսպորտային միջոցներ» առարկաների դասընթացներում:

Қ ұ ш қ ү ш ғ ы ң ы

1. Автомобильные дороги. Проектирование и строительство /Под ред.профессоров В.Ф. Бабкова, В.К. Некрасова и Г.Щилиянова. М.: Транспорт, 1983, 239с.
2. Балабин И.В. и др. Испытания автомобилей: Учебник для машиностроительных техникумов по специальности “Автомобилестроение”/ И.В.Балабин, Б.А.Куров, С.А.Лаптев. 2-е изд., перераб. и доп. М.: Машиностроение, 1988, 192с.:ил.
3. Иларионов В.А.: Эксплуатационные свойства автомобиля (теоретический анализ). Учебник для студентов по специальности “Автомобильный транспорт” высших учебных заведений. Изд-во “Машиностроение”, 1966, 280с.
4. Васильев А.П., Сиденко В.М. Эксплуатация автомобильных дорог и организация дорожного движения: Учебник для вузов; Под ред. А.П. Васильева. М.: Транспорт, 1990, 304с.
5. Кнороз В.И.,Кленников Е.В. Шины и колеса. М., “Машиностроение”, 1975, 184с. с ил.
6. Литвинов А.С., Фаробин Я.Е. Автомобиль. Теория эксплуатационных свойств: Учебник для вузов по специальности “Автомобили и автомобильное хозяйство”. М.: Машиностроение, 1989, 240с. ил.
7. Литвинов А.С. Управляемость и устойчивость автомобиля. М., “Машиностроение”, 1971, 416стр.
8. Немчинов М.В. Сцепные качества дорожных покрытий и безопасность движения автомобилей. М.: Транспорт, 1985, 231с.
9. Работа автомобильной шины. Под ред. В.И.Кнороза, М., “Транспорт”, 1976, 238с. Авт.: В.И.Кнороз, Е.В.Кленников, И.П. Петров, А.С.Шелухин, Ю.М. Юрьев.
10. Сильянов В.В. Транспортно-эксплуатационные качества автомобильных дорог. М.: Транспорт, 1984, 287с.
11. Смирнов Г.А. Теория движения колесных машин: Учебник для студентов машиностроит. спец. вузов.-2-е изд., доп. и перераб. М.: Машиностроение, 1990, 352с.: ил.
12. Эксплуатация и ремонт автомобильных шин. В.П. Ковальчук. Изд. 3-е, переработ. и доп. Изд-во “Транспорт”, 1972, 256с.

Բ Ո Վ Ա Ն Դ Ա Կ ՈՒ Թ Յ Յ ՈՒ Ն

Ներածություն.....	3
1.Ավտոմոբիլային անվի պարամետրերը.....	5
1.1.Դողերի ստատիկ բնութագրերը.....	5
1.2. Անվի շառավիղները.....	10
1.3. Ավտոմոբիլային անվի շարժման դինամիկան.....	12
1.3.1. Շահագործական և կառուցվածքային գործոնների ազդեցությունն անվի գլորման դիմադրության վրա.....	13
1.3.2. Անվի գլորման սահմանային դեպքերը: Կցման գործակից.....	21
1.4. Ավտոմոբիլային անվի շարժումը կողատարքով.....	25
1.5. Ավտոմոբիլային անվի գլորման դիմադրության և կցման գործակիցների, ստատիկ ու գլորման շառավիղների փորձնական որոշման սարքավորումներ.....	33
2.ճանապարհային ծածկույթի կցման և ամրության հատկանիշները.....	36
2.1. ճանապարհային մակերևույթների (ծածկույթների) խորդութորդությունները, դրանց տեսակները, գնահատումը և ազդեցությունը	36
2.2. ճանապարհային ծածկույթների կցման հատկանիշների, խորդութորդության, հարթության և ամրության գնահատումը	42
2.2.1. ճանապարհային ծածկույթների կցման հատկանիշների գնահատման մեթոդիկաներ	42
2.2.2. ճանապարհային ծածկույթների կցման հատկանիշների որոշման սարքեր	44
2.2.3. ճանապարհային ծածկույթների ամրության գնահատման եղանակներ և սարքեր	46
2.3.Ծածկույթների հարթության, խորդութորդության և կցման հատկանիշների գնահատումը.....	48
Եզրակացություններ.....	54
Գրականություն.....	55